

МИНОБРНАУКИ РОССИИ

Федеральное государственное бюджетное  
образовательное учреждение высшего образования  
«Тульский государственный университет»

Институт горного дела и строительства  
Кафедра «Санитарно-технических систем»

Утверждено на заседании кафедры  
«Санитарно-технических систем»  
«20» января 2023 г., протокол №5

Заведующий кафедрой



Р.А. Ковалев

**МЕТОДИЧЕСКИЕ УКАЗАНИЯ  
по выполнению лабораторных работ  
по дисциплине (модулю)  
«Теплогазоснабжение и вентиляция»**

**основной профессиональной образовательной программы  
высшего образования – программы бакалавриата**

по направлению подготовки  
**08.03.01 – "Строительство"**

с направленностью (профилем)  
**"Теплогазоснабжение и вентиляция"**

Форма(ы) обучения: очная, очно- заочная

Идентификационный номер образовательной программы: 080301-06-23

Тула 2023 год

**Разработчик методических указаний**

Вялкова Н.С. доцент, к.т.н.

(ФИО, должность, ученая степень, ученое звание) 

---

 (подпись)



## СОДЕРЖАНИЕ:

1.	Предисловие	4
2.	Лабораторная работа №1. Определение параметров микроклимата в помещении	5
3.	Лабораторная работа № 2. Определение коэффициента теплопередачи чугунного радиатора «Бриз - 500»	13
4.	Лабораторная работа № 3. Исследование работы радиаторного узла	22
5.	Лабораторная работа № 4. Исследование на модели работы вертикальной двухтрубной системы отопления с нижней разводкой	35
6.	Лабораторная работа № 5. Определение потерь давления на трение и в местных сопротивлениях	49
7.	Лабораторная работа №6. Исследование регулирующей способности воздушного клапана конвектора	57
8.	Лабораторная работа №7. Определение расхода воздуха в воздуховоде вентиляционной системы	68

## **1. ПРЕДИСЛОВИЕ.**

В методических указаниях приводятся лабораторные работы, выполняемые при освоении теоретического курса дисциплины "Теплогазоснабжение и вентиляция".

## ЛАБОРАТОРНАЯ РАБОТА №1

### ОПРЕДЕЛЕНИЕ ПАРАМЕТРОВ МИКРОКЛИМАТА В ПОМЕЩЕНИИ

#### 1. ЦЕЛЬ И ЗАДАЧИ РАБОТЫ

Целью данной лабораторной работы является:

- изучение параметров микроклимата в помещении и характера их изменения по объему помещения;
- изучение методики определения абсолютной и относительной влажности воздуха и приобретение навыков использования I-d- диаграммы влажного воздуха.

#### 2. ТЕОРЕТИЧЕСКИЕ ПОЛОЖЕНИЯ

Для определения характера изменения параметров микроклимата в помещении необходимо изменить температуру и относительную влажность воздуха в нескольких точках помещения. Измерение температур производится обычным ртутными или спиртовыми термометрами в пяти точках по высоте и по ширине помещения. Определение относительной влажности воздуха производится не прямым измерением этой величины, а нахождением ее в таблице или на I-d- диаграмме по измеренным значениям температур по психрометру Августа.

Психрометр Августа состоит из двух термометров. Шарик одного термометра обернут мокрой тканью, то есть находится в среде с относительной влажностью  $\varphi = 100\%$ . Этот термометр называется «мокрым». Другой термометр ничем не обернут, и измеряет температуру воздуха в помещении, имеющего относительную влажность  $\varphi < 100\%$ . Этот термометр называется «сухим». Показания «мокрого» термометра всегда несколько ниже показаний «сухого». Это объясняется отбором тепла от шарика «мокрого» термометра за счет испарения влаги из ткани. Чем ниже относительная влажность воздуха, тем выше температура испарения влаги, тем быстрее испаряется влага с шарика «мокрого» термометра, тем ниже температура этого термометра.

ха в помещении, тем интенсивнее происходит процесс испарения влаги и тем больше разность показаний «сухого» и «мокрого» термометров.

Расчеты, связанные с определением параметров влажного воздуха, удобно производить, пользуясь I-d-диаграммой. По оси ординат этой диаграммы отложена энталпия воздуха  $I$ , кДж/кг сухого воздуха. Ось абсцисс для лучшего использования площади диаграммы размещена под углом  $135^\circ$  к оси ординат. На ней отложены значения влагосодержания воздуха  $d$ , г/кг сухого воздуха. Соответствующие точки на условную горизонтальную ось влагосодержания  $d$  нанесены.

На диаграмме имеются линии постоянных энталпий  $I$ , проведенные под углом  $135^\circ$  к оси ординат, линии постоянных температур влажного воздуха  $t_c$  и линии постоянных относительных влажностей  $\varphi$ . Кривая  $\varphi = 100\%$  примечательна тем, что точки на ней соответствуют состоянию насыщенного водяным паром воздуха. Область под этой кривой соответствует состоянию смеси влажного пара и сухого воздуха и называется областью «тумана».

По кривой  $\varphi = 100\%$  построена линия  $P_{\text{вод.п}} = f(d)$ . Значения парциальных давлений водяного пара  $P_{\text{вод.п}}$  можно прочитать на правой кривой крайней ординате диаграммы. Пунктиром на диаграмме нанесены линии постоянных температур мокрого термометра  $t_m$ , проведенные под небольшим углом к линиям  $I = \text{const}$ . В том случае, когда психрометр Августа помещений в воздухе с относительной влажностью  $\varphi = 100\%$ , испарение воды с мокрой тряпочки прекращается и мокрый термометр показывает такую же температуру, как и сухой. Поэтому одноименные изотермы  $t_c$  и  $t_m$  пересекаются на кривой  $\varphi = 100\%$ .

### 3. ОБЪЕКТ ИССЛЕДОВАНИЯ

Объектом исследования являются параметры микроклимата в помещении, сочетание которых вызывает у человека ощущение теплового комфорта или дискомфорта. Этими параметрами являются:

- температура воздуха в помещении  $t_B$ , °C;
- осредненная температура всех поверхностей в помещении, характеризуемая величиной радиационной температуры  $t_R$ , °C;
- относительная влажность воздуха в помещении  $\varphi$ , %;
- скорость движения (подвижность) воздуха.

Параметры микроклимата в помещении должны строго соответствовать один другому и не отклоняться от пределов, заданных первым и вторым условиями комфортности. Согласно этим условиям человек должен ощущать тепловой комфорт в центре помещения, в рабочей зоне и вблизи нагретых и охлажденных поверхностей.

Параметры микроклимата не являются постоянными по объему помещения. Температура воздуха  $t_B$  и относительная влажность  $\varphi$  изменяются по высоте помещения и по мере удаления от охлажденных и нагретых поверхностей. Перепады температуры по вертикале и по горизонтали в помещении не должны превышать 2-3 °C . Только при таком перепаде температур человек, находившийся в помещении, не ощущает неравномерности температур.

Воздух в помещении всегда является влажным. Оптимальное значение относительно влажности воздуха в помещении  $\varphi = 45\%$ , колебания этого параметра должны быть в пределах от 30 до 60 %.

### 4. ЗАДАНИЕ НА РАБОТУ

Измерить с помощью психрометра Августа температуры «сухого» и «мокрого» термометров в пяти точках по высоте и ширине помещения. На основе полученных данных найти для всех этих точек с помощью I-d-диаграммы относительную влажность воздуха  $\varphi$ , влагосодержание  $d$ , упругость водяного пара  $P$ , максимально возможную упругость водяного пара  $E$  и температуру точки росы  $t_p$ .

Построить графики изменения температуры и относительной влажностью воздуха по высоте и ширине помещения.

## 5. ПОРЯДОК ВЫПОЛНЕНИЯ РАБОТЫ

1. Психрометры Августа размещаются в исследуемых точках помещения.
2. Составляется таблица результатов измерений (Табл. 1.1).

Таблица 1.1

### Результаты измерений

№ п/п	Координаты точек заме- ра, м	, °C	, °C	, %	e, мм рт. ст.	E , мм рт. ст.	d, г/кг сух. возд	, °C
1	2	3	4	5	6	7	8	9
1								
2								
3								
4								
5								

3. Записываются показания «сухого» и «мокрого» термометров  $t_c$  и  $t_m$ .

4. Находится точка пересечения изотерм  $t_c$  и  $t_m$ , соответствующих показаний психрометра( точка А).

5. Определяется парциальное давление водяного пара  $P_{вод.п.}$

Влажный воздух является смесью сухого воздуха с водяным паром.

Согласно закону Дальтона каждый газ, входящий в состав смеси, находится под своим парциальным давлением, а сумма парциальных давлений компонентов равна давлению смеси. Поэтому можно записать

$$P_{возд} = P_{сух.возд} + P_{вод.п.} \quad (1.1)$$

где  $P_{возд}$ - давление влажного воздуха, кПа;

$P_{сух.возд}$ - парциальное давление сухого воздуха в смеси, кПа;

$P_{вод.п.}$ - парциальное давление водяного пара в смеси, кПа.

Парциальное давление водяного пара в воздухе часто называют упругостью водяного пара и обозначают буквой е. Величина упругости зависит от количества содержащихся в воздухе водяных паров. Являясь одним из компонентов смеси «водяной пар- сухой воздух», пар распределяется равномерно и по всему объему помещения.

Для определения парциального давления водяного пара  $P_{вод.п.}$ , то есть действительной упругости  $e$ , кПа, из точки А проводится линия  $d=const$  до пересечения с линией  $P_{вод.п.}=f(d)$ , после чего неизвестное значение  $e$  определяется по правой шкале.

6. Если величина упругости водяного пара равна давлению насыщения при температуре воздуха, то такая упругость является максимально возможной.

можной и обозначается буквой Е, кПа. Дальнейшее повышение влажности воздуха или снижение его температуры повлечет за собой выпадение тумана, то есть конденсацию водяного пара. Максимально возможная упругость водяного пара в воздухе неодинакова в различных точках помещения, то величина Е тоже является переменной. С повышением температуры повышается и давление насыщения, то есть максимально возможная упругость водяного пара.

Отношение действительной упругости водяного пара  $e$  к максимально возможной Е, выраженное в процентах, называется относительной влажностью воздуха:

$$\varphi = \frac{e}{E} \cdot 100\% \quad (1.2)$$

Так как Е- величина переменная по объему помещения, то и  $\varphi$  является величиной переменной.

Значение относительной влажности воздуха  $\varphi$  определяется по кривой  $\varphi = \text{const}$ , проходящей через точку А.

7. Найти точку пересечения изотерм  $t_c$  с кривой  $\varphi = 100\%$  (точку Е) и по этой точке максимально возможное давление водяного пара при данной температуре Е, для чего выполнить операции, аналогичные описанным в пункте 5.

8. Вычислить значение относительной влажности воздуха  $\varphi$  по формуле (1.2) и сравнить его со значением этой величины, найденным по I-d-диаграмме.

9. Найти на I-d-диаграмме точку пересечения линий  $d = \text{const}$  и  $\varphi = 100\%$ , по которой определить температуру точки росы  $t_p$ .

10. По полученным данным построить на миллиметровой бумаге графики зависимостей  $t_c = f_1(x)$  и  $\varphi = f_2(x)$ .

## 6. УКАЗАНИЯ ПО ОФОРМЛЕНИЮ ОТЧЕТА

Отчет по лабораторной работе должен содержать:

- 1) Заполненную таблицу результатов измерений;
- 2) Построенные в масштабе на миллиметровой бумаге графики зависимостей  $t_c = f_1(x)$  и  $\varphi = f_2(x)$ ;
- 3) Выкопировку из I-d-диаграммы с указанием точек, соответствующих состояниям воздуха и с нанесенной стрелками методикой определения его параметров.

## 7. КОНТРОЛЬНЫЕ ВОПРОСЫ

1. Что такое относительная влажность воздуха? Как ее определить?
2. Как измеряются по высоте помещения температуры и относительная влажность воздуха?
3. Что представляет собой психрометр Августа?
4. Определить по I-d-диаграмме параметры влажного воздуха :  $\varphi, e, E, t_p$
5. Изменяются ли по высоте помещения действительная упругость водяных паров и максимально возможная упругость водяных паров?
6. Что такое температура точки росы?
7. Какими параметрами определяется микроклимат в помещении?
8. От чего зависит величина действительной упругости водяного пара в помещении и максимально возможной упругости водяного пара?
9. В чем причина различий в показаниях «сухого» и «мокрого» термометров?

10. Могут ли «сухой » и «мокрый» термометры показывать одинаковую температуру? В каком случае это будет?

## **8. ЛИТЕРАТУРА.**

1. Каменев П.Н., Тертичник Е.И., Вентиляция./ П.Н.Каменев, Е.И. Тертичник.- М. : Издательство АСВ,2008.- 624 с.:ил. - Библиогр. в конце кн.-ISBN 978-5-93093-436-6 : 450.00.
2. Полушкин В.И. Отопление, вентиляция и кондиционирование воздуха. Часть I. Теоретические основы создания микроклимата в помещении. (учеб. пособие/Полушкин В.И., Русак О.Н., Бурцев С.И., Анисимов С.М., Васильев В.Ф. – СПб.: «Профессия», 2002. - 159 с.: ил.- Библиогр. в начале кн.- ISBN 5-93913-031-3 /в пер./: 148.48.
3. Изельт П. Увлажнение воздуха. Системы и применение: (учеб. пособие/ Изельт П., Арнд. У., Вильке М. – М.: Техносфера., 2007. -256с.:ил.- Библиогр. в начале кн.- ISBN 978-5-94836-136-9/в пер./: 512.00.

## **ЛАБОРАТОРНАЯ РАБОТА №2.**

### **ОПРЕДЕЛЕНИЕ КОЭФФИЦИЕНТА ТЕПЛОПЕРЕДАЧИ ЧУГУННОГО РАДИАТОРА «БРИЗ - 500».**

#### **1. ЦЕЛЬ И ЗАДАЧИ РАБОТ.**

Лабораторная работа проводится в течение 2 часов занятий с целью изучения основных факторов, определяющих величину коэффициента теплопередачи отопительного прибора.

#### **2. ТЕОРЕТИЧЕСКИЕ ПОЛОЖЕНИЯ.**

##### **2.1. Требования, предъявляемые к отопительным приборам.**

К отопительным приборам предъявляются следующие требования:

1. санитарно-гигиенические - относительно пониженная температура поверхности; ограничение площади горизонтальной поверхности приборов для уменьшения отложения пыли; удобство и доступность очистки от пыли поверхности приборов и пространства вокруг них;

2. экономические - относительно пониженная стоимость прибора; экономный расход металла на прибор, обеспечивающий повышение теплового напряжения металла прибора;

3. архитектурно-строительные - соответствие внешнего вида приборов интерьеру помещений; сокращение площади помещений, занимаемой приборами.

4. производственно-монтажные - механизация изготовления и монтажа приборов для повышения производительности труда; достаточная механическая прочность приборов.

##### **2.2. Коэффициент теплопередачи отопительного прибора.**

###### **Методика определения.**

Передачу теплоты от теплоносителя в помещение происходит через стенку отопительного прибора. Интенсивность теплового потока характеризуется коэффициентом теплопередачи  $K_{\text{пр}}$ .

Коэффициентом теплопередачи отопительного прибора называется величина, численно равная тепловому потоку в ваттах, проходящему через  $1\text{м}^2$  внешней поверхности прибора при разности средней температуры теплоносителя и воздуха помещения в  $1^\circ\text{C}$ .

Коэффициент теплопередачи зависит от вида теплоносителя и его параметров, типа отопительного прибора и способа его присоединения к системе водяного отопления, расхода воды через прибор, способа установки и других факторов.

При повышении разности средней температуры теплоносителя и окружающего воздуха возрастает передача теплоты в помещение, как конвекцией, так и лучеиспусканием, а, следовательно, увеличивается и коэффициент теплопередачи прибора.

У оребренных приборов температура ребра в направлении его наружных границ уменьшается, поэтому коэффициент теплопередачи такого прибора меньше, чем гладкого.

Уменьшение коэффициента теплопередачи для гладких и оребренных труб, установленных в несколько рядов, объясняется взаимным облучением и уменьшением у вышележащих труб перепада температур теплоносителя и воздуха, уже подогретого нижележащими трубами.

Количество секций в чугунном радиаторе также влияет на величину коэффициента теплопередачи. При меньшем количестве секций и прочих равных условиях он возрастает.

Это объясняется тем, что передача теплоты излучением происходит в основном лишь крайними секциями. Большая часть излучения с поверхности близко расположенных и взаимно закрывающих друг друга колонок средних секций не попадает в помещение. При меньшем количестве секций поверхность крайних секций составляет больший процент от всей поверхности отопительного прибора, поэтому весь прибор будет иметь больший коэффициент за счет теплоотдачи лучеиспусканием.

Уменьшают коэффициент теплопередачи различные декоративные решетки у приборов, улучшающие интерьер помещения, но снижающие конвективную и лучистую составляющие в передаче теплоты от приборов в помещение

Изложенное выше показывает, что многофакторная зависимость коэффициента теплопередачи отопительного прибора значительно затрудняет аналитическое его определение, поэтому коэффициент теплопередачи каждого нового прибора определяется экспериментальным путем при определенных условиях с учетом области его значений для отдельных видов (рис. 3.1).

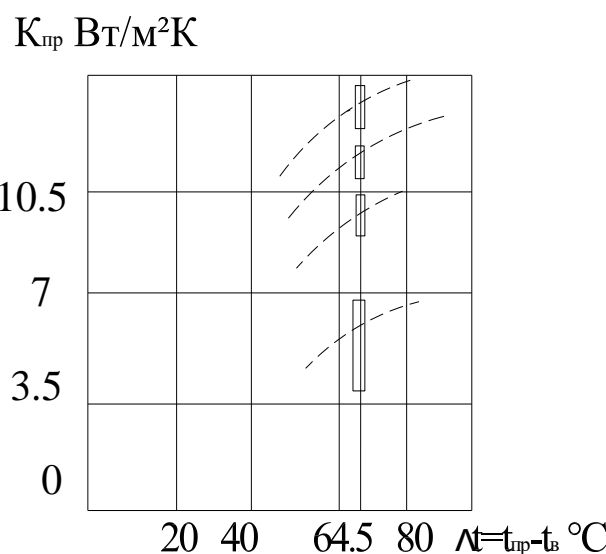


Рис. 2.1. Области значений коэффициентов теплопередачи отопительных приборов: 1 - гладкотрубные приборы; 2- панельные радиаторы; 3- секционные радиаторы; 4- конвектоны и ребристые трубы.

Отклонение конкретных условий эксплуатации от стандартных учитывается введением при расчете поправочных коэффициентов на остывание воды в трубопроводах, способ установки, расход воды через прибор, число секций в радиаторе.

В общем случае коэффициент теплопередачи данного прибора при водяном теплоносителе зависит от разности температур теплоносителя в приборе и воздуха в помещении и расхода воды через прибор:

$$\hat{E}_{i\delta} = f(t_{i\delta} - t_a, G) \quad (3.1)$$

В лабораторной работе ставится задача установить зависимость коэффициента теплопередачи только от первого параметра для радиатора отопления чугунного секционного «БРИЗ-500», предназначенного для применения в системах водяного отопления жилых, административных и общественных зданий. Радиаторы сертифицированы в системе ГОСТ РФ и соответствуют ГОСТ 8690-94. Секции радиатора изготовлены из высококачественного листового чугуна. Технические данные : рабочее давление 1,2 МПа ; испытательное давление 1,8 МПа; максимальная температура теплоносителя 130 °C; номинальный тепловой поток одной секции 150 Вт.

Если пренебречь инерцией при передачи теплоты от теплоносителя прибору, а от него воздуху помещения, то при установившемся стационарном режиме тепловой поток ( $Q_1$ ), отданный в приборе водой, за некоторый момент времени равен тепловому потоку ( $Q_2$ ) переданному прибором помещению.

Тепловой поток, передаваемый водой прибору, можно определить по формуле

$$Q_1 = cG(t_{ex} - t_{vых}) \quad (2.2)$$

где  $G$ -расход воды через прибор, кг/с;  $c$ - удельная теплоемкость воды,  $c=4190$  Дж/(кг К);  $t_{ex}$  -  $t_{vых}$  - температура воды на входе в прибор и выходе, °К или °C. Тепловой поток, передаваемый прибором в помещение, определяют с помощью основного уравнения теплопередачи

$$Q_2 = K_{np}F_{np}(t_{np} - t_e) \quad (2.3)$$

где  $K_{np}$  - коэффициент теплопередачи отопительного прибора, Вт/(м<sup>2</sup>К),  $F_{np}$  - площадь внешней поверхности прибора, омываемой воздухом, обычно искусственно развитой с помощью приливов, оребрения и т. п.,  $t_{np}$  - средняя температура воды в приборе, °C,

$$t_{np} = (t_{ex} + t_{vых}) / 2 \quad (2.4)$$

$t_e$ - температура воздуха в помещении, °C.

Из равенства тепловых потоков  $Q_1=Q_2$  можно определить коэффициент теплопередачи

$$K_{PP} = \frac{cG(t_{BX} - t_{вых})}{F_{PP}(t_{PP} - t_B)} \quad (2.5)$$

### 3. ОБЪЕКТЫ ИССЛЕДОВАНИЯ.

#### 3.1. Схема опытной установки.

На рис.2.2 приведена схема опытной установки.

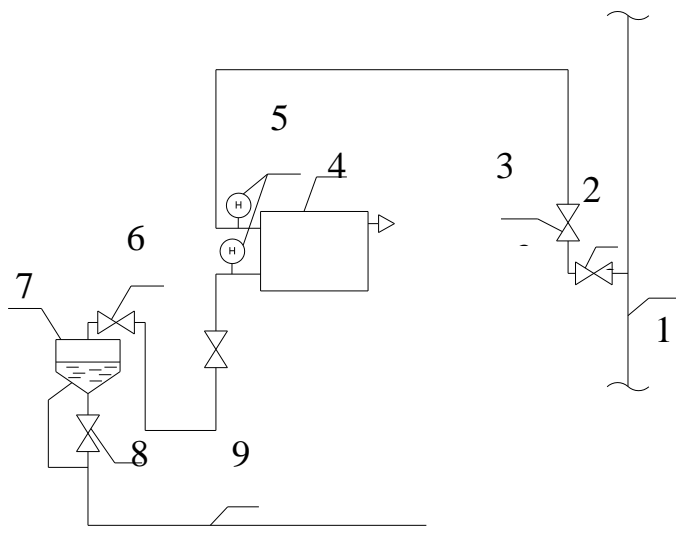


Рис. 2.2. Схема опытной установки.

В отопительный прибор 4 горячая вода поступает из стояка 1 системы отопления здания после открытия вентилей 2 и 3. Из мерного бака 7 вода по трубопроводу 9 сбрасывается в канализацию (см. рис.3.2). Регулирование расхода воды через прибор производится краном 6.

#### 3.2. Методика измерений.

В ходе лабораторной работы необходимо измерить:

1. Температуру воды на входе и выходе из прибора  $t_{вх}, t_{вых}$ ;
2. Температура воздуха в помещении  $t_b$ ;
3. Расход воды через прибор  $G$ ;
4. Площадь внешней поверхности прибора.

Температуры воды  $t_{\text{вх}}$  и  $t_{\text{вых}}$  измеряются с помощью ртутных термометров 5, установленных в защитных гильзах, которые предохраняют термометры от поломки. Температура воздуха внутри помещения определяется по сухому термометру психрометра. Расход воды определяется наиболее простым и достаточно точным способом с помощью непосредственного определения количества вытекающей из трубопровода жидкости за единицу времени. Для этой цели используют мерный бак 9, объем которого заранее известен:  $V_6 = 0,0041 \text{ м}^3$ . Обвязка мерного бака выполнена так, что при открытом проходном кране 8 в баке не скапливается, он без воды.

При измерении расхода закрывается кран 8 и одновременно открывается кран 6. Определяется расход воды через прибор по формуле

$$G_{np} = (V_6 / \tau) \rho, \quad (3.6)$$

где  $G_{np}$  - расход через прибор, кг/с;  $\tau$  - время наполнения мерного бака, с;  $\rho$  - плотность воды при температуре  $t_{\text{вых}}$  (рис. 2.3.), кг/м<sup>3</sup>.

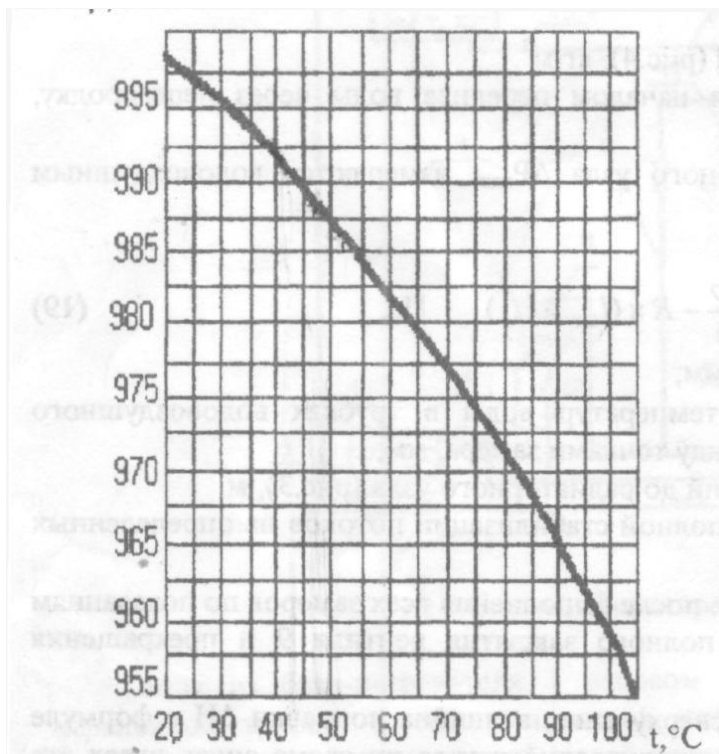


Рис.2.3. График зависимости плотности воды от температуры.

Наполнение мерного бака определяется началом перелива воды через перегородку, установленную в этом баке.

Площадь внешней поверхности

$$F_{np} = n f_c \quad (2.7)$$

где  $n$  - количество секций, шт;  $f_c$  - площадь внешней поверхности 1 секции прибора,  $\text{м}^2$ ,  $f_c = 0.29 \text{ м}^2$ .

Результаты измерений записываются в таблицу 3.1 экспериментальных и расчетных данных.

Таблица 2.1

Таблица экспериментальных и расчетных данных.

Номер режима	Номер замера	$\tau, \text{с}$	Температура, $^{\circ}\text{C}$			$\rho, \text{кг}/\text{м}^3$	$G, \text{кг}/\text{с}$	$\Delta t = t_{\text{пп}} - t_B, ^{\circ}\text{C}$	$K_{\text{пп}}, \text{Вт}/(\text{м}^2\text{К})$
			$t_{\text{ex}}$	$t_{\text{вых}}$	$t_e$				
1	1								
	2								
	3								
	Среднее значение								
2	1								
	2								
	3								
	Среднее значение								
3	1								
	2								
	3								
	Среднее значение								

#### 4. ЗАДАНИЕ НА РАБОТУ.

Во время работы следует выполнять требуемые замеры и, обрабатывать данные наблюдений, построить необходимые графики.

## **5. ПОРЯДОК ВЫПОЛНЕНИЯ РАБОТЫ.**

Замеры выполняются звеном студентов 3-4 человека при различных значениях расхода воды, которые изменяют с помощью вентиля 6. В конце лабораторной работы студенты обмениваются результатами и строят необходимые графики.

Лабораторная работа проводится в следующем порядке.

1. За 15-60 мин. до начала работы включают опытную установку, при этом устанавливается минимальный расход воды.

2. Сразу после начала занятия замеряют экспериментальные данные  $\tau$ ,  $t_{ex}$  и  $t_{вых}$  на первом режиме работы, при этом показания приборов фиксируют три раза через 1-2 мин., полученные результаты усредняют и все последующие расчеты выполняют для средних значений опытных данных (таблица 3.1).

3. Преподаватель или лаборант изменяет режим работы, увеличивая расход воды через прибор.

4. Через 20-25 мин производят замер параметров на втором режиме и т.д.

## **6. УКАЗАНИЯ ПО ОФОРМЛЕНИЮ ОТЧЕТА.**

Отчет о лабораторной работе должен включать следующие разделы.

1. Цель работы.
2. Схема опытной установки.
3. Обработка результатов измерений по своему режиму.
4. Таблица экспериментальных и расчетных данных по всем режимам работы установки.
5. График зависимости  $K_{np} = f(\Delta t)$ .

## **7. КОНТРОЛЬНЫЕ ВОПРОСЫ.**

1. Какие требования предъявляются к отопительным приборам?
2. Что называется коэффициентом теплопередачи?

3. От каких факторов зависит теплопередачи отопительного прибора?
4. Что такое стационарный тепловой режим?

## **8. ЛИТЕРАТУРА.**

1. Сканави А.Н. , Махов Л.М. Отопление/А.Н.Сканави, Л.М.Махов. – М. : Издательство АСВ, 2002. – 576 с.:ил. .- Библиогр. в конце кн.-ISBN 5-93093-161-5 : 192.00.
2. Соснин Ю.П., Бухаркин Е.Н., Орлов К.С., Самусь О.Р. Инженерные сети и оборудование зданий и сооружений: Учебник/ Е.Н.Бухаркин, К.С. Орлов, О.Р.Самусь и др.; Под ред.Ю.П.Соснина.-3-е изд., испр.-М.:Высш.шк., 2009.- 415 с.:ил.- Библиогр. в конце кн.- ISBN 978-5-06-006141-3 : 927.00.

## ЛАБОРАТОРНАЯ РАБОТА №3.

### ИССЛЕДОВАНИЕ РАБОТЫ РАДИАТОРНОГО УЗЛА

#### 1. ЦЕЛЬ И ЗАДАЧИ РАБОТЫ.

Лабораторная работа проводится в течение 4 часов занятий с целью практического изучения основных факторов, влияющих на коэффициент затекания воды в отопительный прибор в радиаторном узле со смещенным замыкающим участком, а также с целью определения зависимости гидравлических сопротивлений радиаторного узла от расхода и скорости воды в стояке.

Исследование проводится для двух схем питания прибора:

- 1) вода движется по стояку сверху - вниз, что характерно для однотрубной системы отопления с верхней разводкой или для выпускной части стояка однотрубной системы отопления с нижней разводкой;
- 2) вода движется по стояку снизу - вверх, что имеет место в подъемной части стояка однотрубной системы отопления с нижней разводкой.

#### 2. ТЕОРЕТИЧЕСКИЕ ПОЛОЖЕНИЯ

##### 2.1. Коэффициент затекания воды в радиатор.

Одним из основных элементов системы отопления являются отопительные приборы, предназначенные для передачи теплоты от теплоносителя в помещение. Существуют различные схемы присоединения отопительных приборов к однотрубному стояку. В настоящее время наибольшее распространение получила схема радиаторного узла со смещенным замыкающим участком. Поток теплоносителя у таких радиаторных узлов распределяется по двум параллельным вертикальным направлениям: радиатору и замыкающему участку (рис.3.1)

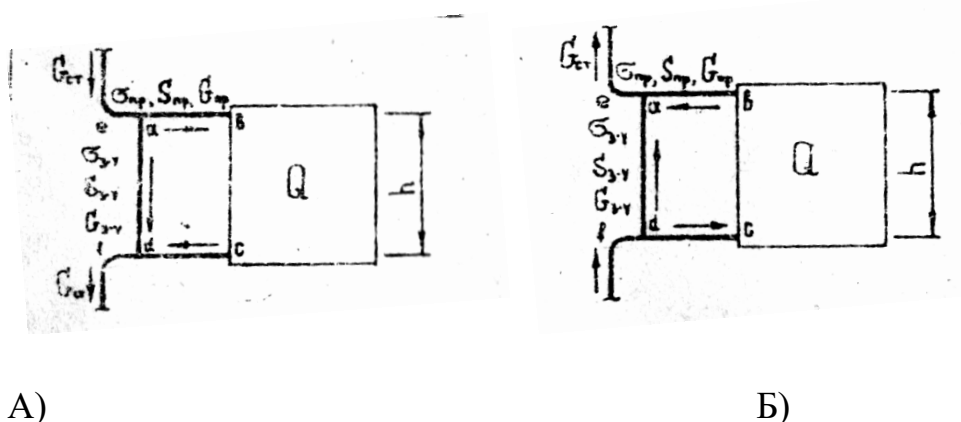


Рис.3.1 Схема радиаторного узла: а) при движении воды сверху вниз, б) при движении воды снизу вверх.

Отношение расхода воды через отопительный прибор  $G_{\text{пр}}$  к расходу воды в стояке  $G_{\text{ст}}$  называется коэффициентом затекания :

$$\alpha = \frac{G_{IP}}{G_{CT}} \quad (3.1)$$

При изотермических условиях поток теплоносителя распределяется по параллельным участкам пропорционально их проводимости

$$\frac{G_{IP}}{G_{3Y}} = \frac{\sigma_{IP}}{\sigma_{3Y}} \quad (3.2)$$

или

$$S_{II^P} \times G_{II^P}^2 = S_{3Y} \times S_{3Y}^2 \quad (3.3)$$

где  $\sigma_{\text{пр}}$ ,  $\sigma_{\text{зы}}$  - проводимость соответственно отопительного прибора с проводящими трубами и замыкающего участка,  $\text{kг}/(\text{ч Па}^{1/2})$ , показывает расход воды или потери давления на участке 1 Па;

$S_{\text{пр}}, S_{\text{зы}}$  - характеристика сопротивления соответственно отопительного прибора с подводящими трубами и замыкающего участка,  $\text{кг}/(\text{ч} \cdot \text{Па}^1)^2$ , показывает потерю давления на участке при расходе воды 1  $\text{кг}/\text{ч}$ .

$G_{3y} = (1-\alpha)G_{ct}$  - расход воды в замыкающем участке, кг/ч.

Изотермическими называются условия ,при которых температуры помещения и теплоносителя в приборе равны, т.е. теплоотдача отопительно-го прибора равна нулю.

Коэффициент затекания воды в этом случае можно определить из уравнения (5.3) с учетом (5.1)

$$\alpha_{H3} = \frac{1}{1 + \sqrt{\frac{S_{PP}}{S_{3Y}}}} \quad (3.4)$$

В общем случае (при изотермических условиях) коэффициент затекания зависит от многих факторов, а именно:

- 1) от расхода или скорости движения воды в стояке( $G_{ct}$ ,  $V_{ct}$ );
- 2) от теплоотдачи отопительного прибора( $Q$ );
- 3) от схемы радиаторного узла;
- 4) от длин и диаметров подводок к радиатору и замыкающего участка;
- 5) от высоты отопительного прибора( $h$ );
- 6) от направления движения воды в стояке.

Уравнение, связывающее перечисленные факторы и характеризующее давление потоков воды в радиаторном узле, может быть представлено в виде:

$$S_{PP} \times G_{PP}^2 = S_{3Y} \times G_{3Y}^2 \pm \Delta P_E$$


---

где  $\Delta P_E$  - естественное циркуляционное давление, возникающее в ма-лом кольце циркуляции *abcd* (см. рис.3.1) из-за разности плотностей воды в отопительном приборе и в замыкающем участке, Па.

Естественное циркуляционное давление принимают со знаком плюс при движении воды сверху вниз, когда оно способствует затеканию воды в

радиатор, и со знаком минус ,когда оно препятствует затеканию воды в радиатор.

Если пренебречь охлаждением воды в трубах, то:

$$\Delta P_E = h \times (\rho_{pp} - \rho_{3y}) \times g = h \times b \times (T_1 - t_{pp}) \times g = 0,5 \times h \times b (T_1 - t_2) \times g, \\ [\Delta P_E = h \times (\rho_{pp} - \rho_{3y}) \times g = h \times b \times (T_2 - t_{pp}) \times g = 0,5 \times h \times b \times (T_2 - t_1) \times g] \quad (3.6)$$

где  $t_{pp}=0,5(T_1-t_2)$ , [ $t_{pp}=0,5(T_2-t_1)$ ] -средняя температура воды в приборе,  $^{\circ}\text{C}$ ,  $h$ -высота радиатора, м;

$b$ - температурный коэффициент,  $\text{кг}/(\text{м}^3 \text{ } ^{\circ}\text{C})$ .

$\rho_{pp}$ ,  $\rho_{3y}$  -плотность воды соответственно в радиаторе и замыкающем участке,  $\text{кг}/\text{м}^3$ ;

$g$  -ускорение силы тяжести,  $\text{м}/\text{с}^2$ ;

$T_1$  и  $t_2$ - температуры воды соответственно на входе в радиаторный узел и на выходе из радиатора при питании сверху - вниз,  $^{\circ}\text{C}$  ( рис. 5.3);

$T_2$  и  $t_1$ -температуры воды соответственно на входе в радиаторный узел и на выходе из радиатора при питании снизу - вверх,  $^{\circ}\text{C}$  ( рис.5.3).

Здесь и в дальнейшем в квадратных скобках приведены формулы для случая движения воды снизу - вверх.

Решение управления(5.5) относительно  $\alpha$  затруднительно, поэтому в данной лабораторной работе коэффициент затекания можно определить из уравнения теплоотдачи радиатора.

$$Q = \frac{1}{3.6} \times c \times G_{pp} \times (T_1 - t_2) = \frac{1}{3.6} \times c \times G_{ct} \times (T_1 - T_2), \text{ Вт},$$

$$[Q = \frac{1}{3.6} \times c \times G_{pp} \times (T_2 - t_1) = \frac{1}{3.6} \times c \times G_{ct} \times (T_2 - T_1)], \text{ Вт}, \quad (3.7)$$

где с-теплоемкость воды кДж/(кг  $^0\text{C}$ ); откуда

$$\alpha_{HEIZ} = \frac{T_1 - T_2}{T_1 - t_2} \quad [\alpha_{HEIZ} = \frac{T_2 - T_1}{T_2 - t_1}]. \quad (3.8)$$

В нашем случае  $b= 0,64 \text{ кг}/(\text{м}^3 \text{ } ^0\text{C})$ ;  $h=0,5 \text{ м.}$ ;  $c=4,19 \text{ кДж}/(\text{кг} \text{ } ^0\text{C})$ ;  $g=9,81 \text{ м}/\text{с}^2$ .

## 2.2 Гидравлические сопротивления радиаторного узла.

В общем случае (при неизотермических условиях) гидравлические сопротивления радиаторного узла определяются по формуле:

$$\Delta P_{HEIZ} = S_{PP} \times \alpha_{HEIZ}^2 \times G_{CT}^2 \quad \mu \Delta P_E = S_{3Y} (1 - \alpha_{HEIZ})^2 \times G_{CT}^2, \text{ Па} \quad (3.9)$$

Знак минус принимается при движении воды сверху - вниз, плюс - при движении воды снизу - вверх.

Характер сопротивления  $S_{PP}$  и  $S_{3Y}$  зависят от длины и диаметра трубопроводов и суммы коэффициентов местных сопротивлений на участках, а при больших скоростях воды и от ее расхода. Из уравнения (9) следует, что

$$S_{PP} = \frac{\Delta P_{HEIZ} \pm \Delta P_E}{\alpha_{HEIZ}^2 \times G_{CT}^2}, \text{ Па}/(\text{кг} \cdot \text{ч}^{-1})^2,$$

$$S_{3Y} = \frac{\Delta P_{HEIZ}}{(1 - \alpha_{HEIZ})^2 \times G_{CT}^2}, \text{ Па}/(\text{кг} \cdot \text{ч}^{-1})^2, \quad (3.10)$$

Гидравлические сопротивления радиаторного узла при изотермических условиях определяются по формуле:

$$\Delta P_{H3} = S_{PP} \times \alpha_{H3}^2 \times G_{CT}^2 = S_{3Y} \times (1 - \alpha_{H3})^2 \times G_{CT}^2 = S_{PY} \times G_{CT}^2, \text{ Па} \quad (3.11)$$

Тогда характеристики сопротивления радиаторного узла равна:

$$S_{PY} = \frac{\Delta P_{H3}}{G_{CT}^2}, \text{ Па}/(\text{кг} \cdot \text{ч}^{-1})^2, \quad (3.12)$$

В последнее время с целью индустриализации заготовительно-монтажных работ стояки в системах отопления собирают из отдельных блоков- этажестояков (рис. 3.2).

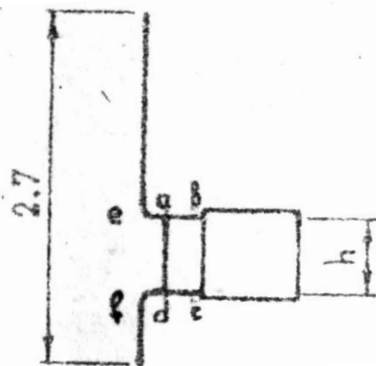


Рис.3.2. Схема этажестояка.

Гидравлические сопротивления такого этажестояка в изотермических и неизотермических условиях представляют собой сумму сопротивлений радиаторного узла и части стояка.

$$\Delta P_{\text{эт-ст}} = \Delta P + R \times (2,7 - h + l_{ab} + l_{df}) + \sum \xi_{\text{отв}} \times \frac{V_{CT}^2 \times \rho}{2}, \text{ Па} \quad (3.13)$$

где-  $\Delta P$  - гидравлические сопротивления радиаторного узла соответственно в изотермических и неизотермических условиях, Па;

$R$ -удельное падение давления на трение, принимаемое по графику (рис.5.5), Па/м;

$\sum \xi_{\text{отв}}$ - суммарный коэффициент местных сопротивлений отводов;

$(V_{CT}^2 \times \rho) / 2$  - динамическое давление воды в стояке.

$$\frac{V_{CT}^2 \times \rho}{2} = \frac{(4 \times G_{CT})^2 \times \rho}{2 \times (3600 \times \rho \times \pi \times d_{CT}^2)^2} = \frac{16}{2 \times 3600^2 \times \rho^2 \times \pi^2 \times d_{CT}^4} \times G_{CT}^2 = A \times G_{CT}^2, \text{ Па, } (3.14)$$

$A$ - удельное динамическое давление в стояке,  $\text{Па}/(\text{кг}\cdot\text{ч}^{-1})^2$ , возникающее при расходе воды 1 кг/ч.

В нашем случае  $\sum \xi_{\text{отв}} = 2$ ;  $A = 3,18 \cdot 10^{-4}$  Па/(кг·ч<sup>-1</sup>)<sup>2</sup>.

Характеристика сопротивления этажестояка определяется по формуле

$$S_{\vartheta-CT} = \frac{\Delta P_{\vartheta-CT}^{HB}}{G_{CT}^2}, \text{ Па/(кг·ч}^{-1}\text{)}^2, \quad (3.15)$$

где  $\Delta P_{\vartheta-\text{ст}}^{\text{из}}$  - гидравлические сопротивления этажестояка в изотермических условиях, Па.

Используя понятие приведенного коэффициента местных сопротивлений, формулу(13) можно переписать в виде:

$$\Delta P_{\vartheta-CT} = \sum \xi_{\text{отв}} \times \frac{V_{CT}^2 \times \rho}{2} = \xi_{\vartheta-CT}^{\text{пр}} \times A \times G_{CT}^2, \text{ Па,} \quad (3.16)$$

где  $\xi_{\vartheta-\text{ст}}^{\text{пр}}$  - приведенный коэффициент местных сопротивлений этажестояка, показывает потерю давлений в местных сопротивлениях, выраженную в долях динамического давления.

Откуда

$$\xi_{\vartheta-CT}^{\text{пр}} = \frac{\Delta P_{\vartheta-CT}}{A \times G_{CT}^2}. \quad (3.17)$$

### 3.ОБЪЕКТ ИССЛЕДОВАНИЯ.

#### 3.1. Схема опытной установки.

На рис.3.3 приведена схема опытной установки. В отопительный прибор 6 горячая вода поступает из стояка 1 системы отопления здания после открытия вентиля 2. Из мерного бака 11 вода по трубопроводу 14 сбрасывается в канализацию. Регулирование расхода воды через прибор производится краном 10.

При испытании радиаторного узла по схеме движения воды сверху - вниз вентили 3 и 8 закрыты , а краны 5,13 открыты. Тогда вода по трубопроводу

воду 4 будет поступать в радиатор 6 сверху в направлении ВА. Далее, пройдя через мерный бачок 11, вода сбрасывается в канализацию по трубопроводу 14.

При исследовании радиаторного узла по схеме движения воды снизу - вверх краны 5,13 закрываются , а вентили 3 и 8 открываются. В этом случае вода по трубопроводу 4 проходит через вентиль 3 и в отопительном стояке движется в направлении АВ и дальше через вентиль 8 в мерный бачок 11.

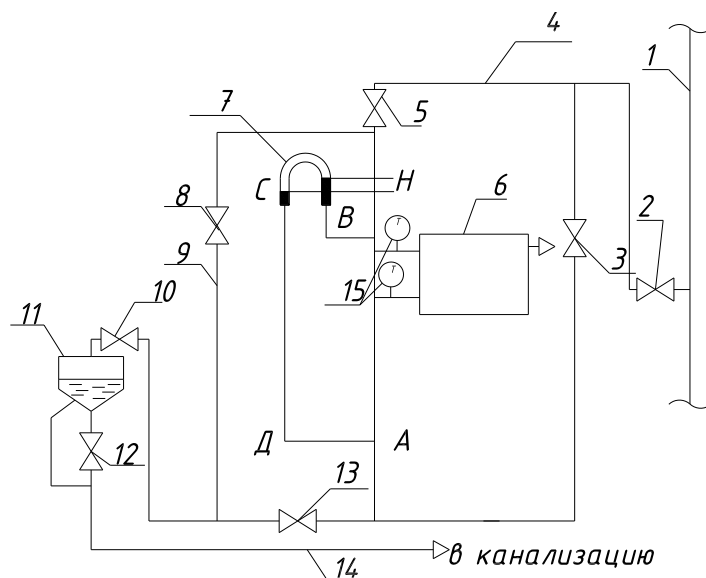


Рис.3.3. Схема опытной установки

### 3.2 Методика измерений

Экспериментальное исследование связано с измерением следующих величин:

- 1) расхода воды в стояке  $G_{ст}$ ;
- 2) температур воды  $T_1, t_1, T_2, t_2$ ;
- 3) падения давления в радиаторном узле  $\Delta P_{неиз}$ ,

Температуры воды  $T_1, t_1, T_2, t_2$  измеряются с помощью ртутных термометров, установленных в защитных гильзах, которые предохраняют термометры от поломки. Для улучшения теплоотдачи от гильзы к резервуару тер-

мометра, образующийся в гильзе кольцевой зазор между резервуаром и ее стенкой заполняется машинным маслом.

Расходы воды определяются с помощью мерного бачка 8, объем которого заранее известен и равен  $V_6$ . Обвязка камерного бака трубопроводами выполнена так, что при открытом проходном кране 13 вода в баке не скапливается, он без воды.

При измерении расхода воды закрывается кран 13 и одновременно включается секундомер. По времени наполнения мерного бачка можно определить часовой расход воды в стояке по формуле

$$G_{CT} = \frac{3600 \times V_6}{\tau} \times \rho, \text{ кг/ч}, \quad (3.18)$$

где  $\tau$  – время наполнения мерного бачка, с;  $\rho$  – плотность воды при температуре  $T_2$  [ $T_1$ ] (см.рис.3.3, лаб.раб. №3), кг/м<sup>3</sup>.

Наполнение мерного бачка определяется началом перелива воды через перегородку, установленную в этом бачке.

Гидравлическое сопротивление радиаторного узла  $\Delta P_{HEIZ}$  измеряются водовоздушным манометром 14 и определяются по формуле

$$\Delta P_{HEIZ} = (H \mu \Delta H) \times \frac{g \times \rho}{1000} - R \times (l_{Ba} - l_{Ad}), \text{ Па} \quad (3.19)$$

где  $H$  – показания водовоздушного манометра, мм;

$\Delta H$  – поправка, учитывающая разность температур воды в трубках водовоздушного манометра на участке СД и в участке между точками замера, мм;

$l_{Ba}$ ,  $l_{Ad}$  – расстояние от точек замера давлений до радиаторного узла (рис.3), м.

Точки замеров А и В равны в сечениях полной стабилизации потоков на определенных расстояниях от местных сопротивлений.

Величину поправки  $\Delta H$  следует определять после выполнения всех замеров по показаниям этого же водовоздушного манометра после полного закрытия вентиля 9 и прекращения циркуляции воды.

При работе радиаторного узла по схеме сверху вниз, величина поправки  $\Delta H$  в формуле (3.19) принимается со знаком минус. При работе радиаторного узла по схеме снизу вверх эта поправка имеет знак плюс.

Результаты измерений записываются в таблицу экспериментальных данных (табл.3.1).

Замеры параметров следует выполнять только при стационарном тепловом процессе, когда показания термометров  $T_1, T_2, t_1, t_2$  будут постоянными.

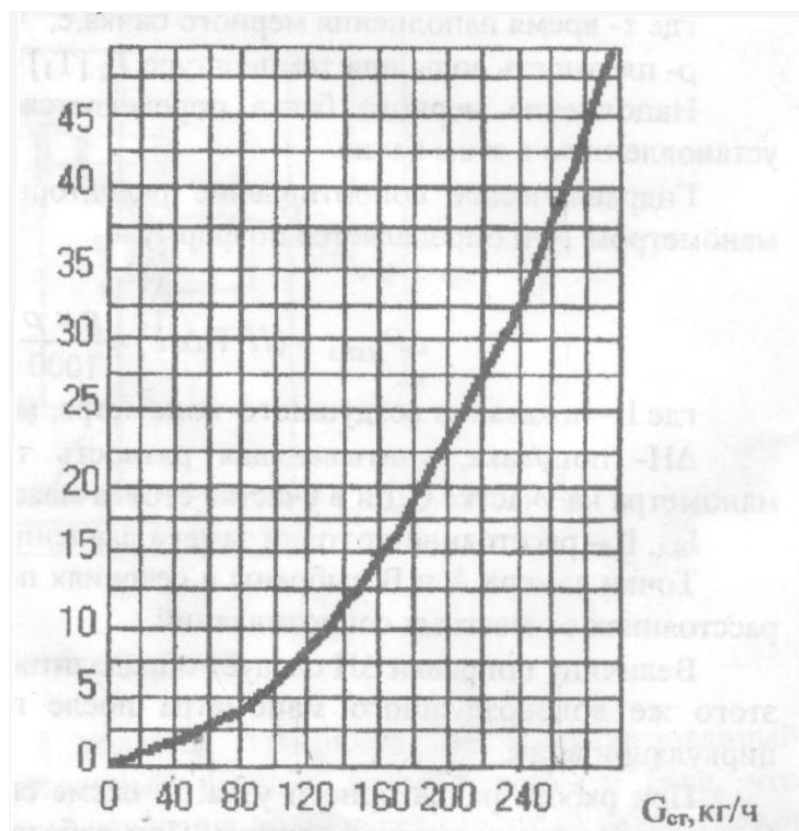


Рис 3.5 График зависимости R от расхода воды в стояке, d=20мм

Результаты расчетов записываются в таблицу расчетных данных (табл.3.2).

Таблица 3.1

№ режимов	№№ опытов	$\tau$ , с	Температуры, °C				H, мм. вод. ст.	$\Delta H$ , мм. вод. ст.
			T <sub>1</sub>	T <sub>2</sub>	t <sub>1</sub>	t <sub>2</sub>		
1	2	3	4	5	6	7	8	9
I	1							
	2							
	3							
	ср.							
II	1							
	2							
	3							
	ср.							
III	1							
	2							
	3							
	ср.							

Экспериментальные данные

Расчетные данные.

Таблица 3.2.

№ ре- жи- мов	$\rho$ , кг/м <sup>3</sup>	$G_{ct}$ , кг/ ч	$R$ , Па/ м	Неизотермические усло- вия				Изотермич. усл.				$S_{py}$ , Па/(кг · ч <sup>-1</sup> ) <sup>2</sup>	$S_{\vartheta-ct}$ , Па/(кг · ч <sup>-1</sup> ) <sup>2</sup>		
				$\alpha$	$G_{pr}$ , кг/ ч	$\Delta P_e$ , Па	$\Delta P$ , Па	$Q$ , Вт	$\xi_{\vartheta-ct}$ р	$\alpha$	$G_{pr}$ , кг/ ч	$\Delta P$ , Па	$\xi_{\vartheta-ct}$ р		
1	2	3	4	5	6	7	8	9	10	1	12	13	14	15	16
I															
II															
III															

#### 4. ЗАДАНИЕ НА РАБОТУ

Во время работы необходимо выполнить экспериментальное исследование радиаторного узла, обработать опытные данные и построить необходимые графики.

#### 5. ПОРЯДОК ВЫПОНЕНИЯ РАБОТЫ

Исследование радиаторного узла осуществляется на 3-4 режимах его работы. Режим работы узла определяется расходом воды в стояке. Переход на другой режим производится изменением расхода воды с помощью вентиля 9.

Исследование работы радиаторного узла на каждом режиме осуществляется бригадой студентов из 3-4 человек. В конце лабораторной работы студенты обмениваются результатами и строят необходимые графики.

Лабораторная работа производится в следующем порядке:

- 1) за 35-40 минут до начала работы включается опытная установка, при этом устанавливается минимальный расход воды;
- 2) сразу же после начала занятий производятся замеры экспериментальных данных  $t$ ,  $T_1$ ,  $T_2$ ,  $t_1$ ,  $t_2$ ,  $H$  на первом режиме работы при этом показания приборов необходимо фиксировать три раза через 1-2 минуты; полученные значения усредняют и все последующие расчеты для средних значений опытных данных (табл.5.2)
- 3) преподаватель или лаборант изменяет режимы работы, увеличивая расход воды в стояке;
- 4) через 20-25 минут производятся замеры параметров на втором режиме и т.д.;
- 5) определяется поправка  $\Delta H$ .

## **6. УКАЗАНИЕ ПО ОФОРМЛЕНИЮ ОТЧЕТА**

Отчет по лабораторной работе должен включать следующие материалы:

1. Цель работы.
2. Схема опытной установки.
3. Обработка результатов измерений по своему режиму.
4. Таблицы экспериментальных и расчетных данных по своим режимам работы установки (табл. 5.1, 5.2).

## 5. Графики зависимостей.

$\alpha_{H3} = f(G_{CT})$ ;  $\xi_{\vartheta-cm}^{np} = \varphi(G_{CT})$  - для изотермических и неизотермических условий.

## 7. КОНТРОЛЬНЫЕ ВОПРОСЫ

1. Что называется коэффициентом затекания и от каких факторов он зависит?
2. Как определяется естественное давление в малом кольце циркуляции и как оно влияет на работу радиаторного узла?
3. Как определяется гидравлическое сопротивление радиаторного узла при изотермических и неизотермических условиях?
4. Что называется приведенным коэффициентом местных сопротивлений?
5. Как работает лабораторная установка при движении воды в радиаторном узле сверху - вниз и снизу - вверх?
6. Как определяется поправка  $\Delta H$  и что она учитывает?
7. Почему замеры параметров производятся через 20-25 минут после изменения расхода воды?
8. Как в лабораторной работе определяется расход воды в стояке?

## 8. ЛИТЕРАТУРА

1. Сканави А.Н. , Махов Л.М. Отопление/А.Н.Сканави, Л.М.Махов. – М. : Издательство АСВ, 2002. – 576 с.:ил. .- Библиогр. в конце кн.-ISBN 5-93093-161-5 : 192.00.
2. Соснин Ю.П., Бухаркин Е.Н., Орлов К.С., Самусь О.Р. Инженерные сети и оборудование зданий и сооружений: Учебник/ Е.Н.Бухаркин, К.С. Орлов, О.Р.Самусь и др.; Под ред.Ю.П.Соснина.-3-е изд., испр.-М.:Высш.шк., 2009.- 415 с.:ил.- Библиогр. в конце кн.- ISBN 978-5-06-006141-3 : 927.00.

## **ЛАБОРАТОРНАЯ РАБОТА №4.**

### **ИССЛЕДОВАНИЕ НА МОДЕЛИ РАБОТЫ ВЕРТИКАЛЬНОЙ ДВУХТРУБНОЙ ОТОПЛЕНИЯ С НИЖНЕЙ РАЗВОДКОЙ.**

#### **ЦЕЛЬ И ЗАДАЧИ РАБОТЫ**

Лабораторная работа проводится в течение 2 часов занятий с целью практического изучения устройства системы отопления, заполнения и пуска системы в работу, удаления воздуха из системы при пуске и во время работы, измерения и расчета циркуляции воды в системе, эксплуатационного регулирования мощности системы отопления.

## **2. ТЕОРЕТИЧЕСКИЕ ПОЛОЖЕНИЯ**

### **2.1. Системы отопления с естественной циркуляцией. Преимущества и недостатки.**

Системы водяного отопления с естественной циркуляцией весьма удобны для отдельных зданий, получающих теплоту от собственной котельной установки или теплообменника при независимом присоединении системы к тепловой сети. Эти системы надежны, бесшумны, просты в эксплуатации, не требуют затрат электрической энергии на привод насоса.

К недостаткам систем с естественной циркуляцией следует отнести небольшой радиус действия ( до 30 м ) и повышенный расход металла, замедленный прогрев системы а период пуска и возможность замерзания воды на опасных участках из-за малой скорости движения.

При естественной циркуляции наиболее целесообразно применение верхней разводки подающих магистральных теплопроводов , нижняя разводка применяется в основном в тех случаях, когда отапливаемое здание имеет бесчердачное покрытие или подвал, проходящий под всем зданием и дающий возможность прокладывать магистральные трубопроводы без дополнительных затрат на сооружение подпольных каналов.

Двухтрубные системы отопления с нижней разводкой обладают следующими положительными свойствами: монтаж и пуск системы может производиться поэтажно по мере возведения здания; уменьшаются потери теплоты подающими магистралями; по сравнению с двухтрубными системами с верхней разводкой, эти системы имеют большую гидравлическую устойчивость.

Одним из недостатков таких систем является необходимость устройства специальной воздушной линии для удаления воздуха из системы в период ее пуска и эксплуатации. Воздушную линию прокладывают под потолком верхнего этажа здания. Устанавливаемые вместо воздушной линии воздухо выпусканые краны на каждом из приборов верхнего этажа требуют периодической проверки путем обхода всех помещений. Кроме того, для присоединения расширительного бака необходима прокладка соединительного и циркуляционного трубопроводов значительно большей протяженности, чем в системе с верхней разводкой.

Расход труб на систему с нижней разводкой при удалении воздуха через воздушную линию на 5% больше, а при удалении воздуха через воздушные краны – на 5% меньше, чем на двухтрубную систему с верхней разводкой.

## **2.2. Заполнение системы отопления водой. Удаление воздуха.**

Система отопления заполняется водой из водопровода или тепловой сети. Если давление в водопроводе не достаточно, то используют ручной насос или насос с электрическим приводом.

На модели ( см. рис.4.3 ) заполнение системы производят с помощью сосуда 10 путем его медленного подъема. Медленное заполнение системы водой обеспечивает полное удаление воздуха из системы.

В системах водяного отопления скопление воздуха нарушают циркуляцию теплоносителя и вызывают коррозию металла. Воздух в систему отопления попадает двумя путями: частично остается в свободном состоянии при заполнении их теплоносителем или водой в процессе заполнения и эксплуатации в растворенном виде. Количество свободного воздуха, остающегося в трубопроводах и приборах при их заполнении, не поддается учету, но этот воздух в правильно смонтированных системах устраняется в течение нескольких дней эксплуатации.

Количество растворенного воздуха, вводимого в систему при периодических добавках воды в процессе эксплуатации, зависит от качества исходной воды. Подпиточная вода содержит свыше 30 мг. воздуха в 1 кг воды, подпиточная деаэрированная вода из тепловой сети – 1 мг.

Количество растворенного воздуха, переходящего в свободное состояние, зависит от температуры (табл.7.1) и давления воды.

Таблица 4.1.

Зависимость растворимости кислорода воздуха от температуры чистой воды при атмосферном давлении.

Температура, °C	5	30	50	70	90	95
Растворимость кислорода воздуха, мг/кг	33	20	15	11	5	3

Из таблицы 4.1 видно, что повышение температуры воды сопровождается значительным понижением содержания в ней растворенного кислорода, переходящего при этом в свободное состояние. Для удаления воздуха из системы должны быть предусмотрены специальные устройства. Так как плотность воздуха меньше плотности воды, пузырьки выделяющегося воздуха всплывают и скапливаются в верхних точках системы. В системах с верхней разводкой подающие магистрали прокладываются с необходимым уклоном (не менее 0,002) для фиксации верхних точек сбора воздуха и удаления его в атмосферу. В этих точках устанавливают воздухосборники; из

которых воздух удаляют через ручные спускные краны или автоматические воздухосборники. В системах с нижним расположением магистралей отвод воздуха может осуществляться двумя способами:

1. С помощью ручных и автоматических кранов, установленных в отопительных приборах верхнего этажа. При использовании ручных кранов для обеспечения надежности работы и уменьшения частоты удаления воздуха радиаторы, несмотря на уменьшение коэффициента теплопередачи, рекомендуется присоединять по схеме «снизу-вниз» (рис. 7.1).

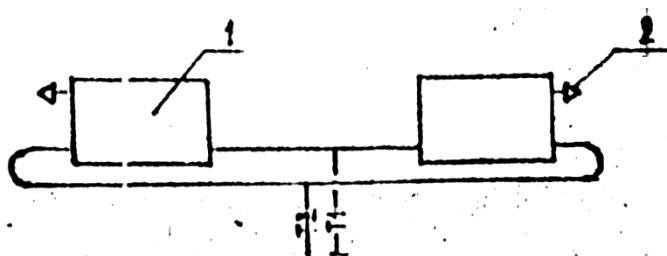


Рис. 4.1. Схема присоединения отопительных приборов верхнего этажа в двухтрубной системе отопления с нижней разводкой: 1 – отопительный прибор; 2 – воздушный кран.

Конструкция ручного воздушного крана не должна допускать разбора воды из системы отопления для бытовых целей. Получили распространение воздушные краны типа Маевского или СТД (рис. 7.2) – кран с поворотным игольчатым штоком, а также более простая конструкция крана в виде болтика с осевым и радиальным сверлением, вворачиваемого в верхнюю пробку радиатора. В последнем случае выпуск воздуха осуществляется после того, как при вывертывании болта из пробки покажется радиальное отверстие. При появлении воды болтик заворачивается в начальное положение.

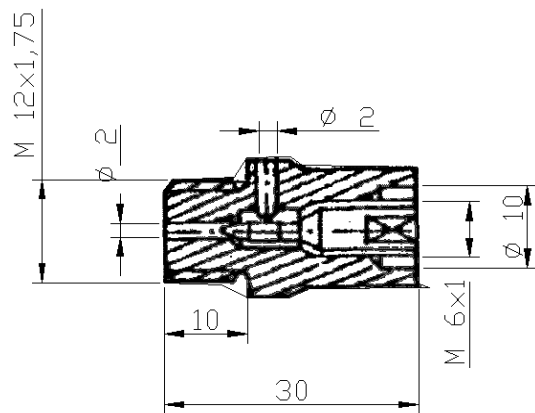


Рис. 4.2. Конструкция ручных воздушных кранов.

## 2. Централизованно через специальную воздушную линию 11 (рис. 4.3).

В этом случае подающие стояки объединяют специальной горизонтальной воздушной линией 11 и присоединяют ее к соединительному трубопроводу 3 расширительного бака 4 с помощью петли 12, которая обеспечивает расчетный гидравлический режим системы, исключая циркуляцию воды между стояками по воздушной линии. Высота петли должна быть не слишком малой, чтобы обеспечить «отсечку» циркуляции между всеми стояками, но и не слишком большой, чтобы верхние приборы не забивались воздухом.

Для случая, когда в здании нет расширительного бака, воздух удаляется через воздушную линию и воздухосборник.

При заполнении системы водой воздух будет удаляться через воздушную линию в расширительный бак до тех пор, пока уровень воды в соединительном трубопроводе не станет выше точки присоединения петли.

При выделении воздуха в процессе эксплуатации его давление в воздушной линии будет испаряться. При давлении, большем гидростатического давления воды в точке присоединения петли, будет происходить «пробулькивание» «избыточного» воздуха.

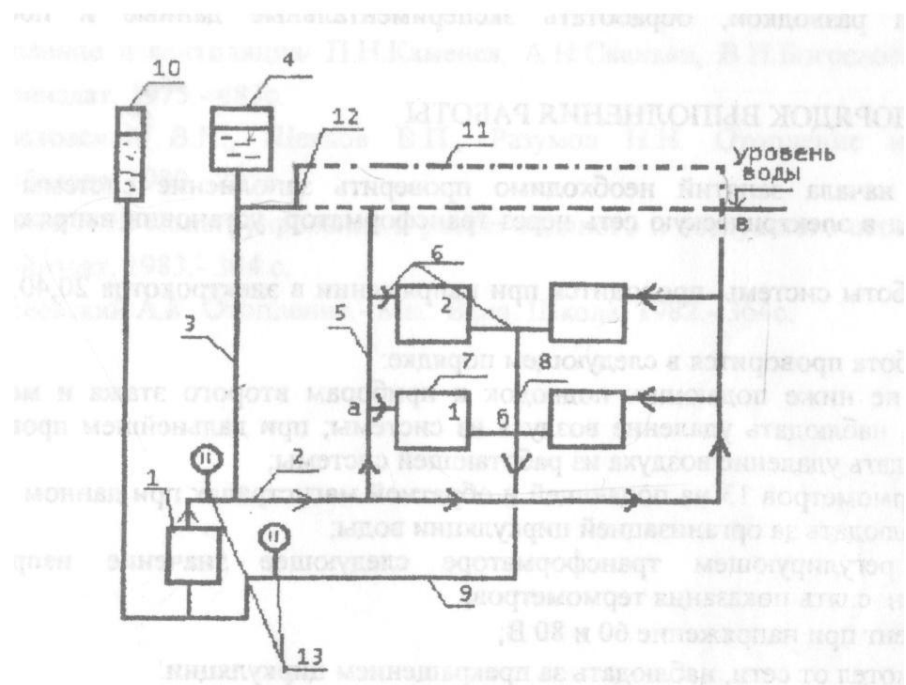


Рис 4.3 Схема опытной установки

### 2.3. Циркуляция воды в системе отопления.

В двухтрубной системе водяного отопления число циркуляционных колец равно числу отопительных приборов.

Причиной возникновения естественного (гравитационного) циркуляционного давления в системах водяного отопления является свойство воды, как и всякого физического тела, изменять объем при изменении температуры. Плотность горячей воды всегда меньше плотности холодной воды, в результате этого из-за действия гравитационного поля Земли возникает разность давлений (циркуляционное давление), благодаря которой происходит движение воды в теплопроводах системы отопления.

Величина естественного циркуляционного давления за счет остывания воды в приборах равна расстоянию по вертикали от середины нагревателя до середины отопительного прибора, умноженному на гравитационное ускорение и на разность плотностей охлажденной и горячей воды.

Так, для колец проходящих через приборы разных этажей циркуляционное давление определяется по формулам

$$\Delta\rho_{PP1} = h_1 \times g \times (\rho_o - \rho_g), \quad (4.1)$$

$$\Delta\rho_{PP2} = h_2 \times g \times (\rho_o - \rho_g), \quad (4.2)$$

где  $h_1$  и  $h_2$  – расстояние между центром электрокотла и центром приборов 1-го и 2-го этажей, м;

$g$  – гравитационное ускорение,  $\text{м}/\text{с}^2$ ;

$\rho_g$  и  $\rho_o$  – плотность воды при температурах в падающей и обратной магистралях,  $\text{кг}/\text{м}^3$  (рис. 4.4).

Из рис. 4.3 видно, что в циркуляционном кольце, проходящем через прибор второго этажа, естественное давление будет больше, чем в кольце, проходящем через прибор второго этажа, на величину  $hg(\rho_o - \rho_g)$ , где  $h=h_2-h_1$ , м.

С этим обстоятельством связаны трудности гидравлической увязки циркуляционных колец, проходящих через приборы разных этажей, а также наличие вертикальной разрегулировки, гидравлической и, как следствие, тепловой неустойчивости. При выполнении гидравлического расчета необходимо добиться, чтобы потери давления в кольце, проходящем через прибор второго этажа а-2-а (см.рис.3) были больше потерь по направлению а-1-б на величину дополнительного естественного циркуляционного давления, возникающего из-за разности высоты установки приборов над электрокотлом, т.е

$$(Rl + Z)_{a-2-\delta} = (Rl + Z)_{a-1-\delta} + (h_2 - h_1) \times g \times (\rho_o - \rho_g) \times B, \quad (4.3)$$

где  $B$  - коэффициент, определяющий долю максимального гравитационного давления, которую целесообразно учитывать в расчетных условиях; для двухтрубных систем  $B=0,4\dots0,5$

При выполнении расчета часто путем уменьшения диаметра не удается полностью использовать располагаемый перепад давлений. Дополнительное сопротивление в кольцах проходящих через приборы второго этажа создается краном двойной регулировки при монтажной регулировке системы.

Системы с нижней разводкой обладают большей гидравлической устойчивостью по сравнению с системами с верхней разводкой, так как большему циркуляционному давлению соответствует и большая длина кольца, проходящего через приборы верхнего этажа (рис. 4.3).

Вертикальная гидравлическая разрегулировка в значительной степени устраняется в насосных системах при повышенных расходах теплоносителя.

Так как вода остывает не только в отопительных приборах, но и трубопроводах, то полностью естественное циркуляционное давление будет равно сумме давлений, возникающих из-за остывания воды в приборе ( $\Delta P_{\text{пп}}$ ) и трубопроводах ( $\Delta P_{\text{tp}}$ ):

$$\Delta P_C = \Delta P_{\text{пп}} + \Delta P_{\text{tp}}, \quad (4.4)$$

Естественное циркуляционное давление, возникающее из-за остывания воды в трубопроводах, принимают по справочным данным.

Определение естественного давления с точностью, допустимой для инженерных расчетов, может быть упрощено. Если правую часть формулы (7.2) умножить и разделить на значение перепада температур  $t_r - t_d$ , действующего в системе, и ввести обозначение  $\beta = \frac{\rho_0 - \rho_r}{t_r - t_0}$ , то полу-

$$\text{чим } \Delta P_C = h \times g \times \frac{\rho_0 - \rho_r}{t_r - t_0} (t_r - t_0) = h \times g \times \beta \times \Delta t, \quad (4.5)$$

где  $\beta$  – удельное изменение плотности воды при изменении ее температуры на один градус в пределах небольшого, но вполне определенного диапазона температур,  $\text{кг}/(\text{м}^3 \cdot \text{К})$ .

Значение  $\beta$  для параметров теплоносителя, принимаемых в практике строительства, приводится в табл. 7.2.

Таблица 4.2

Значение  $\beta$  в зависимости от параметров теплоносителя.

Значение параметра теплоносителя	$\beta$ , кг/(м <sup>3</sup> ·К)
25-65	0,60
95-70	0,64
105-70	0,66
115-70	0,68
130-70	0,72
150-70	0,76

## 2.4. Эксплуатационное регулирование мощности системы отопления.

Расчетная тепловая мощность системы отопления равна недостаткам теплоты в здании, которые определяются путем составления теплово-го баланса всех помещений при расчетной для проектирования отопления температуре наружного воздуха, равной средней температуре наиболее хо-лодной пятидневке.

Недостатки тепла в здании компенсируются системой отопления, мощность которой при водяном теплоносителе может быть определена по формуле

$$Q = G \times c \times (t_{\Gamma} - t_B) \times \frac{1}{3,6} \quad (4.6)$$

где  $Q$  – расчетная мощность системы, Вт;

$G$  – расчетный расход воды в системе, кг/ч.;

$t_{\Gamma}, t_B$  – расчетные параметры воды в подающей и обратной магист-ралях, °C;

$c$  – теплоемкость воды, равная 4,19 кДж/(кг·К)

Так как факторы, определяющие тепловой режим здания, - температура наружного воздуха и скорость ветра, солнечная радиация, тепловыделения

в помещения- являются переменными не только в течение отопительного периода, но и суток ,то при эксплуатации систем отопления должно регулироваться количество подаваемой в здание теплоты.

Регулирование может быть центральным (в котельной или на ТЭЦ), местным (на воде в отапливаемого здания) и индивидуальным (с помощью регулирующих кранов, установленных у отопительных приборов).

Текущая тепловая мощность системы отопления для условий, отличных от расчетных, определяется по уравнению

$$Q' = G' \times c \times (t_g - t_B) \times \frac{1}{3,6}, \quad (4.7)$$

Из уравнения (4.7) видно, что тепловая мощность системы может регулироваться путем изменения расхода воды в системе - количественное регулирование, температура воды- качественное регулирование. При совместном применении качественного и количественного регулирования получают смешанное регулирование.

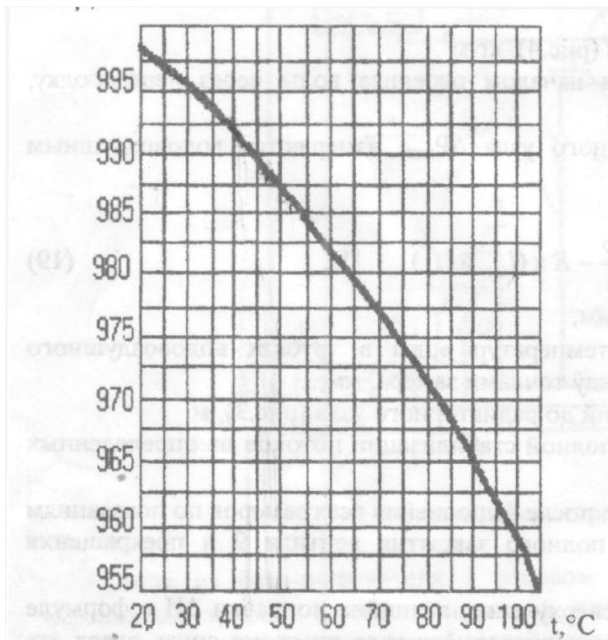


Рис 4.4 График зависимости плотности от температуры

При паровом отоплении применяется регулирование "пропусками".

В настоящее время общепринятым при водяном теплоносителе является центральное качественное регулирование, которое осуществляется изменением температуры теплоносителя в тепловом центре системы теплоснабжения. Качественное регулирование производится по специальным графикам отпуска теплоты потребителям.

График центрального качественного регулирования системы отопления для г. Тулы представлен на рис. 4.5. График составлен для расчётной наружной температуры  $t_{n.p.} = -27^{\circ}\text{C}$  при  $t_b = 18^{\circ}\text{C}$ ,  $t_r = 95^{\circ}\text{C}$ ,  $t_o = 70^{\circ}\text{C}$ . Из графика видно, что с повышением температуры наружного воздуха необходимо уменьшать температуру воды в подающей и обратной магистралях, уменьшается также и разность этих температур. Изменение разности температур приводит к изменению плотности воды, а следовательно, к снижению естественного циркуляционного давления, что автоматически приводит к уменьшению расхода воды в системе. Это означает что в системе вместе с качественным регулированием происходит и количественное саморегулирование. Такое явление в системах с естественным побуждением.

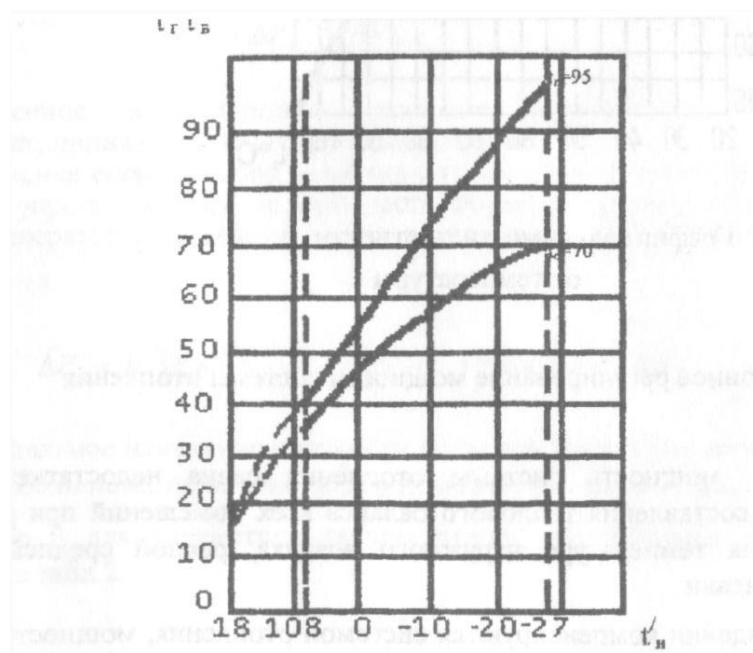


Рис 4.5 График температуры воды в подающей и обратной магистралях системы отопления

### **3. ОБЪЕКТЫ ИССЛЕДОВАНИЯ**

### **3.1. Схема опытной установки**

На рис. 7.3 приведена схема опытной установки. Вода из электрокотла 1 по подающей магистрали 2 движется в подающий стояк 5 и поступает в отопительные приборы 7, а охлажденная вода из каждого прибора отводится в обратный стояк 8 в обратную магистраль. В установке имеется устройство 10 для заполнения системы водой. Воздух через системы удаляется через воздушную линию 11, присоединенную к соединительной трубе 3 расширительного бака 4 с помощью воздушной петли 12, которая служит для обеспечения расчетного гидравлического режима системы, исключая воды между стояками по воздушной линии.

### **3.2. Методика измерений.**

В процессе эксперимента необходимо измерить:

1. температуру воды в подающей и обратной магистралях  $t_r$ ,  $t_o$ ; для различных значений напряжения в электрокотле;

температура воды  $t_r$  и  $t_o$  измеряется с помощью ртутных термометров;

3. естественное циркулярное давление в кольцах приборов 1-го и 2-го этажей.

- #### 4. Таблица 4.3.

## Экспериментальные и расчетные данные

## **4.ЗАДАНИЕ НА РАБОТУ**

В ходе выполнения работы требуется исследовать принцип работы двухтрубной системы отопления с нижней разводкой, обработать экспериментальные данные и построить необходимые графики.

## **5. ПОРЯДОК ВЫПОЛЕНИЯ РАБОТЫ**

За 40 минут до начала занятий необходимо проверить заполнение системы водой, включить электрокотел в электрическую сеть через трансформатор, установив напряжение 20В.

Исследование работы системы проводится при напряжении в электрокotle 20,40,60,80 и 100В.

Лабораторная работа проводится в следующем порядке:

1. Опуская сосуд 10 НЕ НИЖЕ подающих подводок к приборам второго этажа и медленно поднимая его вверх, наблюдать удаление воздуха из системы; при дальнейшем проведении эксперимента наблюдать удаление воздуха из работающей системы.
2. Снять показания термометров 13 на подающей и обратной магистралях при данном режиме работы системы, наблюдать за организацией циркуляции воды.
3. Установить на регулирующем трансформаторе следующее значение напряжения ( $U=40V$ ), через 10 минут снять показание термометров; повторить эксперимент при напряжении 60 и 80 В;
4. Отключить электрокотел от сети, наблюдать за прекращением циркуляции.

Результаты экспериментов сводятся в таблице 4.3.

## **6.УКАЗАНИЯ ПО ОФОРМЛЕНИЮ ОТЧЕТА**

Отчет о лабораторной работе должен включать следующие разделы:

- 1.Цель работы.

2.Схема опытной установки.

3.Обработка результатов измерений по всему режиму.

4.Таблица экспериментальных и расчетных данных по всем режимам работы установки (таб.3).

5.Графики зависимости

$$\begin{cases} t_r = f(U) \\ t_o = f(U) \end{cases} \quad \begin{cases} \Delta p_1 = f(U) \\ \Delta p_2 = f(U) \end{cases}$$

## 7.КОНТРОЛЬНЫЕ ВОПРОСЫ

1.Какие системы отопления называются двухтрубными?

2.Как происходит удаление воздуха из системы отопления?

3.Назначение расширительного бака?

4.Почему возникает циркуляция воды в данной системе отопления?

5.Преимущества и недостатки двухтрубной системы отопления с нижней разводкой?

6.Каким образом осуществляется регулирование мощности системы отопления?

## 8. ЛИТЕРАТУРА

1. Сканави А.Н. , Махов Л.М. Отопление/А.Н.Сканави, Л.М.Махов. – М. : Издательство АСВ, 2002. – 576 с.:ил. .- Библиогр. в конце кн.-ISBN 5-93093-161-5 : 192.00.
2. Соснин Ю.П., Бухаркин Е.Н., Орлов К.С., Самусь О.Р. Инженерные сети и оборудование зданий и сооружений: Учебник/ Е.Н.Бухаркин, К.С. Орлов, О.Р.Самусь и др.; Под ред.Ю.П.Соснина.-3-е изд., испр.-М.:Высш.шк., 2009.- 415 с.:ил.- Библиогр. в конце кн.- ISBN 978-5-06-006141-3 : 927.00.

## ЛАБОРАТОРНАЯ РАБОТА №5.

### ОПРЕДЕЛЕНИЕ ПОТЕРЬ ДАВЛЕНИЯ НА ТРЕНИЕ И В МЕСТНЫХ СОПРОТИВЛЕНИЯХ

#### 1. ЦЕЛЬ И ЗАДАЧИ РАБОТЫ

Лабораторная работа проводится в течение 2 часов занятий с целью практического изучения зависимости потерь давления на трение и в местных сопротивлениях от расхода или скорости движения воды.

Для исследования принята наиболее распространенная в системах водяного отопления арматура: вентиль, проходной кран, кран двойной регулировки .

#### 2. ТЕОРЕТИЧЕСКИЕ ПОЛОЖЕНИЯ

Движение воды в трубопроводах происходит от сечений с большим пением к сечениям с меньшим давлением. Давление теряется не преодоление сопротивления трения по длине труб и местных сопротивлений.

Падение давления  $\Delta p$ , вызванное трением воды о стенки трубопровода и местными сопротивлениями, определяется по формуле

$$\Delta p = \Delta p_{mp} + \Delta p_{mc}, \quad (5.1)$$

где  $\Delta p_{mp}$  - потери давленая на трение, Па;

$\Delta p_{mc}$  - потери давления в местных сопротивлениях, Па.

#### 2.1. Гидравлические сопротивления трения

Потери давления на трение  $\Delta p_{tp}$  на участке трубопровода, определяются по формуле Дарси- Вейсбаха, полученной в XIX веке эмпирическим путем:

$$\Delta p_{mp} = \Lambda l / d \left( v^2 \rho / 2 \right) = Rl , \quad (5.2)$$

где  $\Lambda$ - безразмерный коэффициент гидравлического трения, или сокращенно - коэффициент трения;

$l$ - длина трубопровода, м;

$d$ - диаметр трубопровода, м;

$v$  -скорость движения воды, м/с;

$\rho$ - плотность воды, кг/м<sup>3</sup>;

$(v^2/2) \rho$  - динамическое давление потока, Па.

Величина  $R$  в общем случае зависит от скорости движения или расхода воды, диаметра трубопровода, а также от коэффициента трения  $\Lambda$ .

Для определения зависимости величины  $R$  от расхода воды в трубопроводе заданного диаметра необходимо измерить расход воды  $G$  и потери давления  $\Delta p_{mp}$  на прямолинейном участке длиной  $l$ .

Тогда

$$R = \Delta p_{mp} / l = f(G) = \varphi(v), \quad (5.3)$$

так как

$$v = 4G / 3600 \pi d^2 \rho , \quad (5.4)$$

## 2.2. Местные сопротивления

Потери давления в местных сопротивлениях определяются по формуле Вейсбаха, полученной в XIX веке эмпирическим путем

$$\Delta p_{mc} = \& \left( v^2 \rho / 2 \right) , \quad (5.5)$$

где  $\&$  - коэффициент местного сопротивления, величина безразмерная;

$v$  - скорость воды после прохода через местное сопротивление, м/с.

Коэффициент  $\kappa$  характеризует гидравлические особенности различных местных сопротивлений.

Для определения коэффициента местного сопротивления необходимо знать падение давления в местном сопротивлении и скорость воды:

$$\kappa = \frac{2\Delta p_{mc}}{v^2 \rho}, \quad (5.6)$$

### 3. ОБЪЕКТЫ ИССЛЕДОВАНИЯ

#### 3.1. Схема опытной установки

На рис. 8.1 приведена схема опытной установки. Вода из водопроводной линии по трубе 1 поступает в напорный бак 2, оборудованный переливной трубой 3, обеспечивающей постоянный уровень воды в напорном баке.

По трубе 4 вода из бака с постоянным напором поступает в испытываемый трубопровод, в котором проходит через прямолинейный участок АВ, вентиль 6, проходной кран 7, кран двойной регулировки 5. Затем вода поступает в мерный бак 8 и через раковину спускается в канализацию.

Расход воды можно регулировать вентилем 9. Для измерения перепадов давлений у испытываемых элементов установлены водовоздушные манометры.

Гидравлические сопротивления трубопровода определяются разностью полных давлений и на участке. В данном случае диаметры всех участков сети одинаковы, следовательно, гидравлические сопротивления могло определять по перепаду статических давлений.

#### 3.2. Методика измерений

Экспериментальное исследование связано с измерением следующих величин:

- 1.Показатели манометра  $\Delta h_1, \Delta h_2, \Delta h_3, \Delta h_4$ , мм. вод. ст.
- 2.Расход воды в трубопроводах, G, кг/ч.

Измерение параметров следует производить при установившемся движении, когда уровень воды в напорном баке установится на максимальной отметке и через переливную трубу будет проходить некоторое количество воды. В трубах воздушных манометров уровни воды должны быть неподвижными. Вибрации уровней недопустимы.

Потери давления на трение следует определять по формуле

$$\Delta p_{mp} = 9.81 \Delta h_1, \quad (5.7)$$

где  $\Delta h_1$  -показание манометра, установленного на трубопроводе АВ, мм вод.ст., что численно равно потерям давления в  $\text{кг}/\text{м}^2$ .

Удельные потери давления на трение

$$R = \Delta p_{mp} / l_1, \quad (5.8)$$

где  $l_1$ - длина участка трубы АВ, м.

Потери давления в местных сопротивлениях определяются по формуле

$$\Delta p_{mc} = 9.81 \Delta h - 2Rl, \quad (5.9)$$

где  $\Delta h$  - показания манометра, мм вод.ст.;

R - удельные потери давления, определенные при данном ренине в результате испытания прямолинейного участка АВ, Па/м;

$l$ - длина трубопровода между точками замера, м (без длины местного сопротивления).

Расход воды определяется с помощью мерного бачка 8, объем которого известен:  $V = 0,003 \text{ м}^3$ . Обвязка мерного бачка трубопроводами выполнена так, что при открытом проходном кране 11 в баке вода не накапливается, он без воды.

При измерении расхода воды закрывается кран 11 и одновременно включается секундомер.

По времени наполнения мерного бачка можно определить часовой расход воды  $G$  в трубопроводах по формуле

$$G = 3600 (V_0 \rho / \tau), \quad (5.10)$$

где  $\tau$  - время наполнения бачка, с;

$\rho$  - плотность воды, кг/м.

Наполнение мерного бачка определяется началом перелива через перегородку, установленную в этом бачке.

Коэффициент местного сопротивления определяется по формуле (5.6), а скорость движения воды - по формуле (5.4).

Результаты измерений записываются в таблицу 8.1 экспериментальных данных.

Таблица 5.1

Экспериментальные и расчетные данные

Номер режима	Показание водовоздушного манометра, мм вод.ст.				Длина участка, м				$\tau$ , с	$G$ , кг/ч	$v$ , м/с	$R$ , Па/м	$\xi_1$	$\xi_2$	$\xi_3$
	$h_1$	$h_2$	$h_3$	$h_4$	$l_1$	$l_2$	$l_3$	$l_4$							

Замеры параметров следует производить при различных расходах воды.

## 4. ЗАДАНИЕ НА РАБОТУ

Во время работы необходимо выполнить экспериментальное исследование зависимости потерь давлений на трение и в местных сопротивлениях от расхода или скорости движения воды, обработать опытные данные и построить необходимые графики.

## 5. ПОРЯДОК ВЫПОЛНЕНИЯ РАБОТЫ

Исследование зависимости потерь давления на трение и в местных сопротивлениях от расхода или скорости движения воды осуществляется при четырех режимах работы установки.

Исследование на каждом режиме осуществляется бригадой студентов из трех человек: один студент снимет показания манометра, подключенного к местному сопротивлению, два студента замеряют расходы воды, кроме того, один из них по мере снятия показаний вентилем 9 изменяет расход воды в трубопроводах.

В конце лабораторной работы студенты обмениваются результатами и строят необходимые графики.

Лабораторная работа проводится в следующем порядке:

1. Проверить ветвь трубопроводов, обратив внимание на исправленность воздушных манометров, и удостовериться в том, что все испытуемые краны открыты.
2. Открыть вентиль 12 на холодном водопроводе и наполнить водой напорный бак.
3. Открыть вентиль 9 полностью и установить такой режим работы установки, чтобы при максимальном расходе воды через испытуемые элементы по переливной трубе 3 вытекало некоторое количество воды (желательно минимальное) и уровень воды в напорном баке был постоянным.

4. Отключить все местные сопротивления и снять показания манометра, подключенного к участку АВ, затем открыть вентиль и снять показания второго манометра.

5. Закрыть вентиль 9 и открыть пробковый кран, снять показания третьего манометра.

6. Закрыть пробковый кран, открыть кран двойной регулировки и снять показания четвертого манометра.

7. Измерить расход воды.

В такой последовательности проводятся последующие испытания. При этом каждый раз расход воды в системе уменьшается.

По окончании опытов желательна проверка манометров путем полного закрытия вентиля 9. При этом каждый воздушный манометр не должен показывать разности давлений.

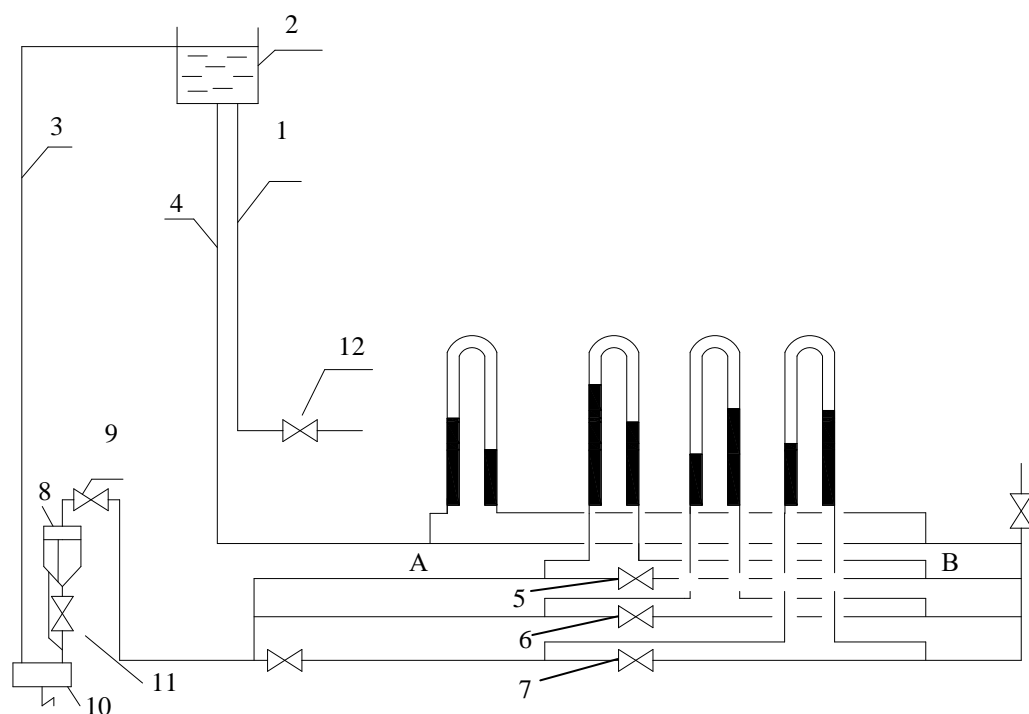


Рис.5.1. Схема опытной установки

## **6. УКАЗАНИЯ ПО ОФОРМЛЕНИЮ ОТЧЕТА**

Отчет по лабораторной работе должен включать следующие разделы:

1. Цель работы
2. Схема опытной установки
3. Обработка результатов измерений по своему режиму.
4. Таблица экспериментальных и расчетных данных по всем режимам работы установки
5. Графики зависимостей  $R=f(G)$ ,  $\&= f(G)$  , сравнение полученных значений со справочными данными.

## **7. КОНТРОЛЬНЫЕ ВОПРОСЫ**

- 1.Как определяются потери давления на трение?
- 2.Как определяются потери давления в местных сопротивлениях и от чего они зависят?
3. Что характеризует коэффициент местного сопротивления?
4. От чего зависят удельные потери давления на трение?
5. От чего зависит коэффициент трения?
6. Как работает лабораторная установка?

## **8. ЛИТЕРАТУРА**

1. Сканави А.Н. , Махов Л.М. Отопление/А.Н.Сканави, Л.М.Махов. – М. : Издательство АСВ, 2002. – 576 с.:ил. .- Библиогр. в конце кн.-ISBN 5-93093-161-5 : 192.00.
2. Соснин Ю.П., Бухаркин Е.Н., Орлов К.С., Самусь О.Р. Инженерные сети и оборудование зданий и сооружений: Учебник/ Е.Н.Бухаркин, К.С. Орлов, О.Р.Самусь и др.; Под ред.Ю.П.Соснина.-3-е изд., испр.-М.:Высш.шк., 2009.- 415 с.:ил.- Библиогр. в конце кн.- ISBN 978-5-06-006141-3 : 927.00.

## **ЛАБОРАТОРНАЯ РАБОТА №6.**

### **ИССЛЕДОВАНИЕ РЕГУЛИРУЮЩЕЙ СПОСОБНОСТИ ВОЗДУШНОГО КЛАПАНА КОНВЕКТОРА.**

#### **1. ЦЕЛЬ И ЗАДАЧИ.**

Целью работы является знакомство с индивидуальным регулированием тепловой мощности отопительного прибора без изменения расхода теплоносителя и конструктивной схемой однотрубного стояка при установке конвекторов "Комфорт-20"; объяснение происходящих процессов.

В работе исследуется регулирующая способность воздушного клапана настенного конвектора "Комфорт-20".

#### **2. ТЕОРЕТИЧЕСКИЕ ПОЛОЖЕНИЯ.**

Тепловой режим отапливаемых зданий и помещений определяется как результат совместного влияния внешних и внутренних возмущающих воздействий. Влияние внешних возмущающих факторов (температуры наружного воздуха, скорости и направления ветра, интенсивности солнечной радиации и влажности воздуха) учитывается различными способами регулирования тепловой мощности системы отопления.

В системах водяного отопления применяется качественное и количественное регулирование тепловой мощности по теплоносителю. Количественное регулирование может быть центральным - на тепловой станции, групповым - в ЦТП и местным - в ИТП здания, а качественное, кроме указанных выше мест, индивидуальное - у отопительных приборов.

Качественное регулирование тепловой мощности систем водяного отопления проводят по основному возмущающему воздействию на тепловой режим помещений - температуре наружного воздуха. Для отдельных частей систем, ориентированных по противоположным сторонам горизонта, или

предназначенных для отопления различных зол и блоков зданий учитывают дополнительные внешние факторы - воздействие ветра и солнечной радиации, т.е. осуществляют регулирование по приведенной температуре наружного воздуха.

Вода, направляемая в системы отопления, централизовано нагревается до температуры, необходимой для компенсации теплопотерь. В системах отопления, присоединяемых к наружным тепловым сетям по зависимой схеме со смешением, качественное регулирование осуществляют путем изменения соотношения между расходами высокотемпературной и охлажденной воды. При независимой схеме прибегают к изменению расхода высокотемпературной воды, пропускаемой через теплообменники, или к смешению части охлажденной воды из системы отопления с водой, нагреваемой в теплообменниках.

В городских кварталах в настоящее время применяют качественное регулирование температуры горячей воды в центральных тепловых пунктах. При таком регулировании температуры греющей воды для группы зданий трудно избежать неравномерного прогрева отдельных зданий или их частей и требуется дополнительное местное количественное регулирование, например, с помощью смесительных: насосов ЦВЦ или элеваторов с регулируемым соплом, т.е. местное количественное регулирование применяется как дополнительное к центральному качественному.

Влияние внутренних возмущающих воздействий (теплоты, выделяемой при приготовлении пищи, от электрических бытовых и осветительных приборов, непосредственно от людей) устраняется индивидуальным количественным регулированием тепловой мощности приборов.

Индивидуальное количественное регулирование по теплоносителю может быть ручным и автоматическим. Для ручного регулирования в системах водяного отопления при температуре теплоносителя до 105°C используют: в однотрубных системах - регулирующие краны с пониженным гидравлическим сопротивлением; в двухтрубных системах - регулирующие кра-

ны с повышенным гидравлическим сопротивлением. Для автоматического регулирования по отклонению температуры воздуха помещения от заданной применяет регуляторы прямого действия как наиболее дешевые и простые в обслуживании, устанавливая их на подводке к отопительному прибору.

Существенным недостатком индивидуального количественного ручного или автоматического регулирования тепловой мощности приборов является снижение надежности работы системы. Установка регулирующих кранов или автоматически действующих регуляторов на подводках к прибору приводит к значительному увеличению мест возможных течей в системе (резьбовые соединения, сальниковые уплотнения). Кроме того, усложняется устройство системы, возникает необходимость монтажа замыкающих участков, что приводит к дополнительным затратам металла и труда.

Заслуживает внимания второй способ индивидуального регулирования тепловой мощности - путем изменения величины конвективного или лучистого потока, поступающего от отопительного прибора в обогреваемое помещение. Лучистая составляющая теплового потока от прибора изменяется установкой экрана, конвективная составляющая - изменением расхода воздуха, омывающего поверхность прибора. Такой способ используется в конвекторах "Комфорт - 20".

### **3. ОБЪЕКТЫ ИССЛЕДОВАНИЯ, ОБОРУДОВАНИЕ, ПРИБОРЫ.**

#### **3.1. Устройство и техническая характеристика конвектора "Комфорт-20".**

Увеличение поверхности стальных труб пластинами из стали или алюминия позволяет получить отопительные приборы - конвекторы, которые, как и стальные радиаторы, имеют значительно меньший расход металла. Металлоемкость системы отопления с конвекторами "Комфорт-20" в 2,5 раза ниже металлоемкости системы с чугунными радиаторами, при этом металло-

емкость отопительных приборов в первом случае составляет 40 %, а во втором 80 % металлоемкости системы.

Все типы конвекторов с кожухом - "Комфорт-20", "Ритм", "Изотерм" и КВ (конвекторы высокие для отопления лестничных клеток) - разработаны согласно требованиям ГОСТ 20849-75 "Стальные конвекторы с кожухом" и предназначены для работы в системах отопления с температурой воды до 150 °С и избыточным рабочим давлением до 1 МПа (давление испытания 1,5 МПа).

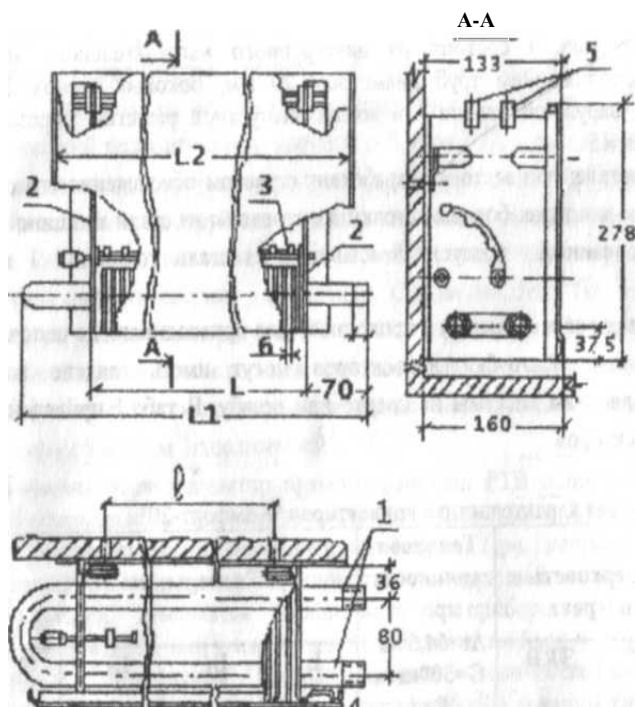


Рис.4.1. Настенный конвектор с кожухом "Комфорт-20"

Конвекторы "Комфорт-20" (обозначение на чертежах КН20 - 0,65 К: 20 - диаметр трубок, 0,65 - поверхность нагрева, К – концевой) - это стальные настенные отопительные приборы. Конвектор (рис. 6.1) состоит из двухтрубного нагревательного элемента 1 с горизонтальным расположением труб диаметром 20 мм, боковых стенок 2 ,воздушного клапана-заслонки 3 , наружной панели 4 и воздуховыпускной решетки, образованной двумя П-образными деталями 5.

Конструкция деталей конвектора разработана с учетом обеспечения его прочности при транспортировании, и монтаже : боковые стенки изготовлены из стали толщиной 2 мм, детали кожуха и профилированной воздушный клапан - из стали толщиной 1 мм, пластины оребрения - 0,5 мм

Приборы выпускаются в концевом и проходном (для присоединения в цепочку нескольких приборов) исполнениях. Патрубки конвекторов могут иметь гладкие концы для присоединения к подводкам системы на сварке или резьбу. В таблице 4.1 приведены технические характеристики конвекторов.

Таблица 6.1

Технические характеристики конвекторов "Комфорт-20".

Обозначение конвектора	Поверхность нагрева		Тепловая мощность при $\Delta t=64,5^0$ С G= 300 кг/ч, Вт	Размеры, мм				Масса, Кг.
				Ширина	Высота	Глубина	Диаметр	
КН20-0,65К	0,71	0,65	329	200	340	300	140	5,6
КН20-0,9К	1,06	0,9	456	300	440	400	240	7,15
КН20-1,1К	1,42	1,1	581	400	540	500	340	8,68
КН20-1,4К	1,77	1,4	727	500	640	600	440	10,24
КН20-1,7К	2,13	1,7	872	600	740	700	540	11,75
КН20-2,0К	2,48	2,0	1018	700	840	800	640	13,32
КН20-2,3К	2,84	2,3	1163	800	940	900	740	14,87
КН20-2,6К	3,19	2,6	1309	900	1040	1000	840	16,39
КН20-2,9К	3,55	2,9	1454	1000	1140	1100	940	17,94
КН20-3,2К	3,9	3,2	1600	1100	1240	1200	1040	19,51
КН20-3,5К	4,26	3,5	1745	1200	1340	1300	1140	21,02

Перестановкой наружной панели и воздушного клапана (для удобства очистки клапан должен открываться к стене) можно получить конвектор с присоединением слева и справа.

На боковых стенках конвектора имеются кронштейны, с помощью которых он навешивается на крюки - пластины, поставляемые в комплекта. Такое решение наряде с простотой монтажа обеспечивает компенсацию линейных температурных изменений при установке конвекторов в цепочку за счет возможного перемещения на кронштейне в пределах 15 - 20 мм

Конвекторы не требуют установки регулировочной арматуры, так как все приборы имеют клапан для регулирования тепловой мощности "по воздуху". Благодаря этому становится возможным применение проточных однотрубных стояков систем водяного отопления. Клапан имеет фиксированные положения, остаточная тепловая мощность при закрытом клапане, по данным опытных испытаний равна 30 %.

Эксплуатация конвекторов сводится к регулированию тепловой мощности с помощью воздушного клапана и периодической очистке нагревательных элементов от пыли, что осуществляется при снятой панели и открытом клапане. В летнее время клапаны должны быть закрыты для защиты нагревательных элементов от пыли.

### **3.2.Схема экспериментальной установки.**

Для исследования регулирующей способности воздушного клапана конвектора смонтирована экспериментальная установка (рис.6.2).

В конвектор 5 по подающему трубопроводу 3 горячая вода поступает из стояка системы отопления здания 1 после открытия вентилей 2. Из мерного бака 9 вода по трубопроводу 11 сбрасывается в канализацию. Регулирование расхода воды через прибор производится краном 8.

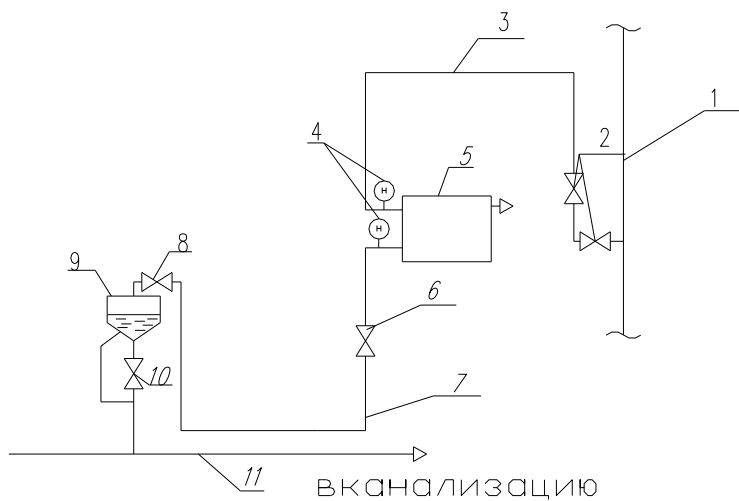


Рис 6.2. Схема экспериментальной установки для определения регулирующей способности воздушного клапана конвектора.

### 3.3. Методика измерений.

При выполнении лабораторной работы измеряются следующие величины:

- 1) температура воды на входе и выходе из конвектора -  $t_{\text{вх}}$ ,  $t_{\text{вых}}$ ;
- 2) температура воздуха в помещении -  $t_{\text{в}}$ ;
- 3) время наполнения мерного бака.

Температура воды измеряется с помощью ртутных термометров установленных в гильзах, помещенных в поток движущейся по трубопроводу воды. Для улучшения теплопередачи от воды к резервуару термометра нижняя часть гильзы заполняется машинным маслом. Верхняя часть гильзы защищает термометр от поломки.

Расход воды через конвектор определяется с помощью мерного бака 9, объем которого известен ( $V_b = 0,003 \text{ м}^3$ ). Обвязка мерного бака выполнена так, что при открытом кране 10 вода уходит в канализацию. При измерении расхода воды через прибор закрывается кран 10 и одновременно включается секундомер. По времени наполнения мерного бака можно определить расход воды (кг/ч) через прибор:

$$G_{\text{в}} = \frac{3600 \times V_b \rho}{\tau} \quad (6.1)$$

где  $\tau$  - время наполнения мерного бака, с;  $\rho$  - плотность воды при температуре на выходе из конвектора, кг/м (см.рис.3.3 , лаб.работа №3).

Температура воздуха в помещении определяется по показанию сухого термометра психрометра.

Замеры температуры воды следует выполнять только при стационарном тепловом режиме, когда показания термометров будут постоянными. Результаты измерений записывают в табл. 6.2.

Таблица 6.2  
Экспериментальные данные.

№ режима	№ опыта	Положение воздушного клапана	$\tau, \text{с}$	Температура, 0 С		
				$t_{\text{вх}}, 0\text{C}$	$t_{\text{вых}}, 0\text{C}$	$t_{\text{в}}, 0\text{C}$
1	1	Полностью открыт				
	2	Открыт на 600				
	3	Открыт на 300				
	4	Закрыт				

### 3.4.Методика обработки опытных данных.

Тепловую мощность конвектора при полностью открытом воздушном клапане на основании полученных экспериментальных данных можно рассчитать по формуле

$$Q = \frac{1}{3.6} G \times c \times (t_{ex} - t_{вых}) \quad (6.2)$$

При прикрытии воздушного клапана уменьшаются конвективная составляющая в теплопередаче от теплоносителя к воздуху и общая тепловая мощность прибора.

Так как тепловая мощность прибора при открытом воздушном клапане равна единице можно рассчитать относительную тепловую мощность конвектора при любом промежуточном положении клапана:

$$\varphi = \frac{Q'}{Q} \quad (6.3)$$

Экспериментальные данные позволяют рассчитать коэффициент теплопередачи конвектора:

$$K = \frac{Q}{F_{np}(t_{np} - t_b)} \quad (6.4)$$

где  $K_{пр}$  - коэффициент теплопередачи конвектора, Вт/(м<sup>2</sup>.К);  $Q$  - тепловая мощность конвектора при данном режиме и опыте, Вт;  $F_{пр}$ - площадь нагревательной поверхности конвектора, м<sup>2</sup>; для конвектора КН 20-2,6К  $F_{np} = 3,19$  м<sup>2</sup>;  $t_{пр}$  - средняя температура теплоносителя в приборе, °С, (см.ф.3.4 лаб.работа №3);  $t_b$  - температура внутреннего воздуха помещения, °С.

Результаты расчетов сводят в таблицу 4.3.

Таблица 6.3  
Расчетные величины

№ режима	№ опыта	G, кг/ч	Q, Вт	$\varphi$	t <sub>пр</sub> , 0C	(t <sub>пр</sub> - t <sub>b</sub> ), 0C	K <sub>пр</sub> , Вт/м <sup>2</sup> .К
1	1						
	2						
	3						
	4						

#### **4. ЗАДАНИЕ НА РАБОТУ.**

Во время работы следует выполнять требуемые замеры и, обрабатывать данные наблюдений, построить необходимые графики.

#### **5. ПОРЯДОК ВЫПОЛНЕНИЯ РАБОТЫ.**

Лабораторная работа проводится при нескольких режимах работы конвектора. Режим работы определяется расходом воды через конвектор. На каждом режиме проводится исследование тепловой мощности прибора, а при разной степени открытия воздушного клапана ( $\alpha = 90^\circ, 60^\circ, 30^\circ, 0^\circ$ ). Замеры выполняются звеном студентов в 3-4 человека. По результатам всех опытов строятся необходимые графики.

Лабораторная работа проводится в следующем порядке:

1. 30 мин до начала работы включается опытная установка при максимальном расходе воды через конвектор и полностью открытом воздушном клапане конвектора (угол открытия  $\alpha = 90^\circ$ )
2. После начала занятий производятся замеры экспериментальных данных  $t$ ,  $t_{\text{вх}}$ ,  $t_{\text{вых}}$ ,  $t_b$  и воздушный клапан прикрывается (угол открытия  $60^\circ$ ).
3. После выхода прибора на стационарный режим, когда температура воды на выходе из прибора изменяться не будет, производятся замеры экспериментальных данных.
4. Замеры повторяются при углах открытия  $30^\circ$  и  $0^\circ$  после чего изменяют расход воды через прибор, воздушный клапан полностью открывают и продолжают исследование.

#### **6. УКАЗАНИЯ ПО ОФОРМЛЕНИЮ ОТЧЕТА.**

Отчет о лабораторной работе должен включать следующие разделы.

1. Цель исследования,
2. Схема опытной установки.
3. Методика измерений и таблица экспериментальных данных.

4. Методика обраб. опытных данных и таблица расчетных величин.
5. График зависимостей относительной тепловой мощности прибора от угла открытия воздушного клапана и график зависимости коэффициента теплопередачи конвектора от разности температур  $\varphi=f(\alpha)$  и  $K=f(t_{\text{пп}}-t_b)$ .

## **7. КОНТРОЛЬНЫЕ ВОПРОСЫ.**

1. Что такое расчётная тепловая мощность системы отопления, отопительного прибора?
2. Какие внешние возмущающие факторы учитываются при определении тепловой мощности системы отопления?
3. Какие способы регулирования тепловой мощности системы отопления знаете?
4. В каких местах может осуществляться регулирование тепловой мощности системы отопления?
5. Какие внешние и внутренние возмущающие воздействия на тепловой режим помещения учитываются индивидуальным количественным регулированием тепловой мощности отопительного прибора?
6. Почему в однотрубных системах водяного отопления нецелесообразно использовать краны двойной регулировки?
7. Какая регулирующая арматура используется для ручного индивидуального количественного регулирования тепловой мощности отопительных приборов?
8. Как осуществляется индивидуальное регулирование тепловой мощности отопительного прибора без изменения расхода теплоносителя?
9. Какие виды отопительных приборов Вы знаете?
10. Почему отопительный прибор, состоящий из труб небольшого диаметра с дополнительным оребрением пластинами, называется конвектором?
11. Расскажите о достоинствах конвектора с кожухом.

12. В чем конструктивное отличие концевых и проходных конвекторов с кожухом?

13. Какую конструктивную схему однотрубного стояка следует применять при установке конвекторов "Комфорт-20"?

14. Почему воздушный клапан конвектора "Комфорт-20" должен быть закрыт в летнее время?

15. Как работает экспериментальная установка?

16. Как определить расход воды через конвектор?

17. По какой формуле можно рассчитать тепловую мощность конвектора?

18. Что называется коэффициентом теплопередачи конвектора?

19. Как рассчитать коэффициент теплопередачи конвектора?

20. Проанализируйте построенные графики зависимостей  $\phi=f(\alpha)$  и  $K=f(t_{np}-t_b)$ .

## **8. ЛИТЕРАТУРА.**

1. Сканави А.Н. , Махов Л.М. Отопление/А.Н.Сканави, Л.М.Махов. – М. : Издательство АСВ, 2002. – 576 с.:ил. .- Библиогр. в конце кн.-ISBN 5-93093-161-5 : 192.00.

2. Соснин Ю.П., Бухаркин Е.Н., Орлов К.С., Самусь О.Р. Инженерные сети и оборудование зданий и сооружений: Учебник/ Е.Н.Бухаркин, К.С. Орлов, О.Р.Самусь и др.; Под ред.Ю.П.Соснина.-3-е изд., испр.-М.:Высш.шк., 2009.- 415 с.:ил.- Библиогр. в конце кн.- ISBN 978-5-06-006141-3 : 927.00.

## **ЛАБОРАТОРНАЯ РАБОТА №7.**

### **ОПРЕДЕЛЕНИЕ РАСХОДА ВОЗДУХА В ВОЗДУХОВОДЕ ВЕНТИЛЯЦИОННОЙ СИСТЕМЫ**

#### **1. ЦЕЛИ И ЗАДАЧИ РАБОТЫ**

Целью данной работы является теоретическое изучение методики и выработки практических навыков у студентов по изменению расхода воздуха в воздуховодах систем вентиляции.

#### **2. ТЕОРЕТИЧЕСКИЕ ПОЛОЖЕНИЯ**

После монтажа, перед сдачей системы вентиляции в эксплуатацию производят её испытание, а при необходимости, и регулирование. Перед проведением испытания, которое заключается в проверке эффективности работы системы, проверяют соответствие установленного оборудования проектным данным. Под эффективностью работы системы вентиляции понимают способность её обеспечивать подачу или удаление заданного количества воздуха с требуемыми параметрами (температурой, влажностью, скоростью движения). Эффективность установок проверяется при непрерывной их работе в течении 6-8 часов. При этом допускаются следующие отклонения параметров работы системы от проектных данных:

- Объем перемещаемого воздуха  $\pm 10\%$
- Скорость движения воздуха в вентиляционных решетках  $\pm 10\%$
- Температура подаваемого воздуха  $\pm 2 \%$
- Влажность подаваемого воздуха  $\pm 5\%$

После испытания и проведения необходимого регулирования дается общая оценка эффективности работы систем и составляется приемочный акт, а на каждую установку - паспорт. Технический паспорт должен содержать схему и описание установки, техническую характеристику ее работы и результаты проверки гигиенической эффективности.

Основной задачей регулирования является обеспечение на всех участках воздуховодов предусмотренных проектом расходов воздуха.

**Определение расходов воздуха.** Объем воздуха, проходящий через поперечное перпендикулярное оси воздуховода сечение за единицу времени, называется объемным расходом ( $L, \text{м}^3, \text{с}$ ) и определяется по формуле

$$L = v_{cp} \times F, \quad (7.1)$$

где  $v_{cp}$ - средняя по всему сечению скорость потока воздуха, м/с;

$F$ - площадь сечения воздуховода,  $\text{м}^2$ .

**Средняя скорость воздуха в воздуховоде.** При движении воздуха в воздуховоде возможно два режима движения: ламинарный и турбулентный. Переходный режим встречается крайне редко, поэтому в данной работе не рассматривается.

При ламинарном режиме движения изменение скорости в поперечном сечении трубы описывается кривой второго порядка(параболой), причем у ее стенок скорость равна нулю, а по оси имеет максимальное значение(рис. 7.1). В этом случае

$$v_{cp} = \frac{v_0}{2}, \quad (7.2)$$

При турбулентном режиме движения, который наиболее часто встречается в отопительно-вентиляционной технике, кривая изменения скорости имеет вид усеченной параболы (рис. 7.1 б). В этом случае у стенки всегда имеется слой разной толщины, в котором среда движется ламинарно. Основную часть сечения занимает турбулентное ядро. Максимальная скорость наблюдается также по оси трубы. Средняя по всему сечению скорость потока определяется выражением

$$v_{cp} = \frac{1}{F} \int_F v dF = \frac{L}{F}, \quad (7.3)$$

где  $v$ - текущая скорость в элементе поперечного сечения  $dF$ .

График распределения скоростей среды в поперечном сечении трубы при различных режимах движения

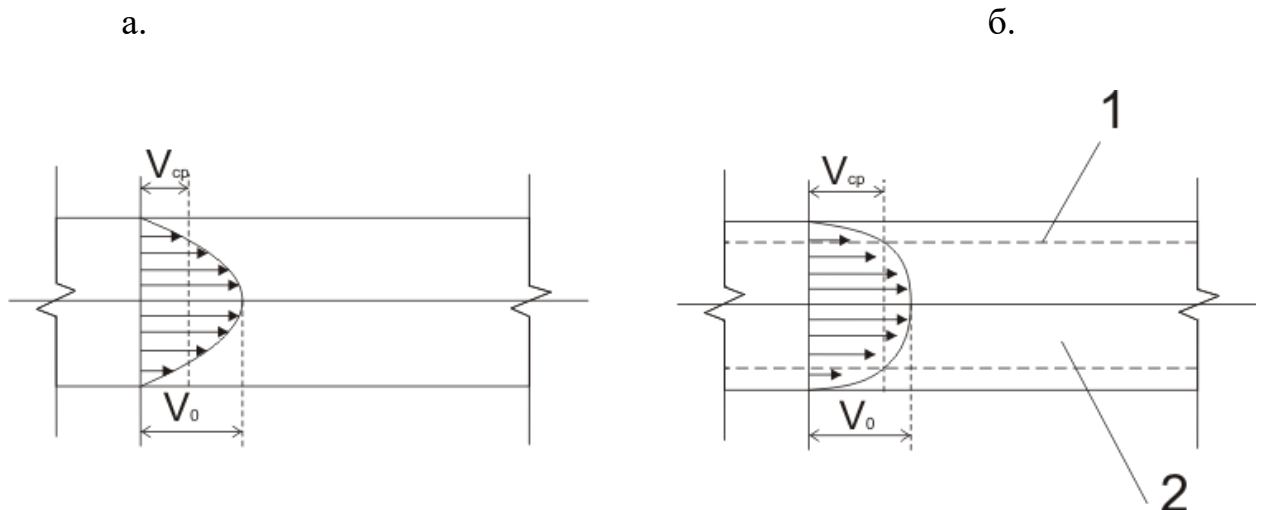


Рис. 7.1

а- ламинарный режим; б- турбулентный режим; 1- ламинарный пограничный слой; 2- турбулентное ядро потока.

На практике среднюю скорость движения при турбулентном режиме определяют экспериментальным путем. Для этого поперечное сечение разбивают на « $m$ » концентрических площадок « $\Delta F$ » и измеряют скорость в центре каждой площадки. Тогда

$$v_{cp} = \sum_1^m \frac{v_i \Delta F_i}{F} = \frac{v_1 \Delta F_1 + v_2 \Delta F_2 + \dots + v_i \Delta F_i}{F}. \quad (7.4)$$

В случае, если площадки  $\Delta F$  равновеликие, выражение(4) упрощается и имеет вид

$$v_{cp} = \frac{\sum v_i}{m}. \quad (7.5)$$

Значения радиусов средних окружностей, определяющих собой положение точек измерения скорости в каждой равновеликой площади, определяют как

$$r_n = R \sqrt{\frac{2n-1}{2m}} . \quad (7.6)$$

где R- внутренний радиус трубопровода;

n- порядковый номер равновеликой площадки.

Количество площадок в зависимости от диаметра воздуховода рекомендуется принимать следующее:

диаметр	число площадок
менее 200	3
200-400	4
400-600	5
600-800	6
800-1000	8
Более 1000	10

При диаметре трубопровода менее 1000 мм измерение скорости производится взаимно перпендикулярным диаметром, а при диаметре более 1000 мм – по трем диаметрам, расположенным под углом 120 °.

На рис 7.2 показана разбивка воздуховода диаметром 160 мм, использованным в лабораторной установке на равновеликие площадки.

Разбивка воздуховода круглого сечения на равновеликие площадки

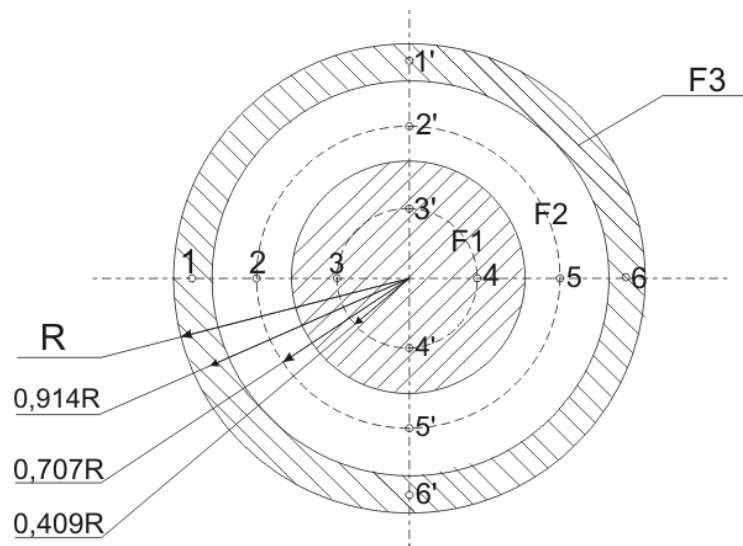


Рис. 7.2

1, 2, 3, 4, 5, 6- точки замера на горизонтальном диаметре;

1, 2, 3, 4, 5, 6- точки замера на вертикальном диаметре;

$F_1$ ,  $F_2$ ,  $F_3$ - средние радиусы соответствующих равновеликих площадок.

При измерении скорости потока воздуха в прямоугольном воздуховоде и каналах сечение их разбивается на ряд равновеликих трех в каждом направлении. Измерение скоростей производится в центре каждого прямоугольника 2-3 раза.

Методы определения скорости движения воздуха. Скорость движения воздуха в помещении, в отверстиях приточных и вытяжных воздуховодов, а также в открытых проемах окон, ворот, и фонарей измеряют крыльчатыми и чашечными анемометрами. Каждый из них имеет чувствительный элемент, вращающийся под действием динамического давления потока и стрелочной механизм. Крыльчатые анемометры нормальной конструкции позволяют измерять скорость движения воздуха в пределах 0,5- 15 м/с, а со специальными легкими крыльями- в пределах 0,15- 5 м/с. Область использования чашечных анемометров составляет 2- 30 м/с. Чувствительность чашечных анемометров меньше, чем крыльчатых.

Анемометрами нельзя пользоваться при скоростях воздуха более 30 м/с вследствие опасности изгиба движения загрязненных потоков и потоков, имеющих температуру выше 50-70 °С.

Для измерения скоростей движения воздуха от 0,1 до 5-6 м/с в настоящее время широко используются электроанемометры. В основу работы электроанемометра ТА- ЛИСТ положен принцип охлаждения воздушным потоком нагревого электрическим током проводника или полупроводника. На аналогичном принципе построена работа и термоанемометра марки ЭА-«М» конструкции Уральского Промстройпроекта. Этот прибор позволяет измерять скорость от 0 до 5 м/с, температуру от 10 до 60 °С и направление потоков воздуха от 0 до 360°.

Определение скорости движения воздуха в воздуховоде вентиляционной системы в большинстве случаев сводится к измерению давления в рассмотренных выше точках движущейся среды.

При испытании вентустановок измеряют полное ( $P_n$ ), статическое ( $P_{ct}$ ), и динамическое ( $P_g$ ), давления, которые связаны между собой зависимостью

$$p_n = p_{ct} + p_g, \quad (7.7)$$

Значения скоростей  $v$  в формуле (5) определяются из следующей зависимости для динамического давления

$$p_{g_i} = \frac{v_i^2 \rho}{2}, \quad (7.8)$$

Откуда

$$v_i = \sqrt{\frac{2p_{g_i}}{\rho}}. \quad (7.9)$$

где  $\rho_{g_i}$  - динамическое давление в  $i$ -ой точке, ПА;

$\rho$  - плотность воздуха, кг/м<sup>3</sup>.

При температуре воздуха, характерных для вентиляционных систем, плотность воздуха с достаточной точностью может быть определена по формуле

$$\rho = \rho_0 \frac{273}{273+t} = 1,293 \frac{273}{273+t} = \frac{353}{273+t}. \quad (7.10)$$

где 1,293 - плотность воздуха при нормальных физических условиях(101.3 кПА, 20°C) кг/м<sup>3</sup>;

$t$  - температура воздуха в воздуховодах вентиляционной системы.

Для измерения давлений в отдельных точках сечения воздуховода в качестве датчиков применяют пневматические трубы, а в качестве регистрационного прибора – микроманометр.

Наибольшее распространение получил пневматические трубы следующих конструкций:

- Г-образные с полусферическими наконечником системы Ирандтля, двусторонние системы Клеве, МИОТ и НИИОгаз;

Использование Г-образных напорных трубок с коническим наконечником (одинарные системы Пито и двойные системы Браббе) является нежелательным, т.к. они требуют сравнительно точной их установки по направлению потока. При использовании трубок с закругленным наконечником отклонение оси трубы от направления движения воздуха до  $\pm 17^\circ$  практически не сказывается на точности замера.

В лабораторной работе используются пневтометрические трубы МИОТ(рис. 9.3) состоящие из двух спаянных по длине металлических трубок с внутренним диаметром 1-4 мм. Одна из трубок мера полного давления.

Вторая имеет заостренный конец и четыре отверстия в стенках для замера статического давления.

Пневмометрические трубы вводятся внутрь воздуховода на прямом участке на расстоянии 4-5 калибров (диаметров) за местным сопротивлением, но не менее двух калибров до последующего местного сопротивления через отверстия в его стенке и устанавливаются так, чтобы открытый напорный конец, служащий для измерения полного давления, стоял строго навстречу потоку. При этом боковые отверстия в трубе, измеряющей статическое давление, расположатся перпендикулярно потоку воздуха. Регистрационным прибором в лабораторной установке служит микроманометр.

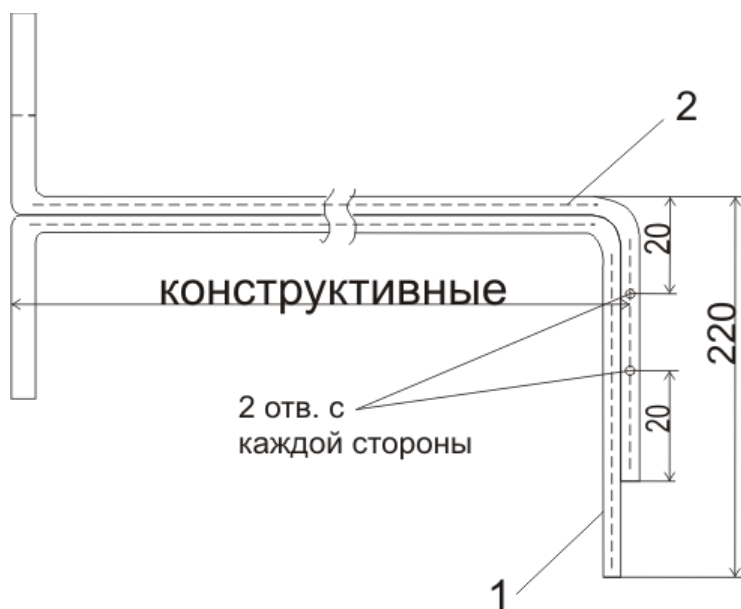


Рис. 7.3 Пневмометрическая трубка МИОТ

- 1-трубка для измерения полного давления;
- 2-трубка для измерения статического давления.

Регистрационным прибором в лабораторной установке служит микроманометр МИН. Конструктивно он представляет собой два сообщающихся сосуда, один из которых выполнен в виде резервуара(1), имеющего большую

площадь, а другой в виде тонкой стеклянной трубы (2). Для повышения диапазона измерения угол наклона трубы может изменяться. На дуге (5) с пятыю отверстиями (10), соответствующими определенным углам наклона трубы, около отверстий указаны значения коэффициента «к», равные 0,2; 0,3; 0,4; 0,6; 0,8.

Коэффициент «к» находится по формуле

$$k = \rho \left( \sin \alpha + \frac{1}{F} \right). \quad (7.11)$$

и учитывается плотность рабочей жидкости (обычно спирт с  $\rho = 909.5 \text{ кг/м}^3$ ), угол установки измерительной трубы и отношение площадей измерительной трубы и резервуара.

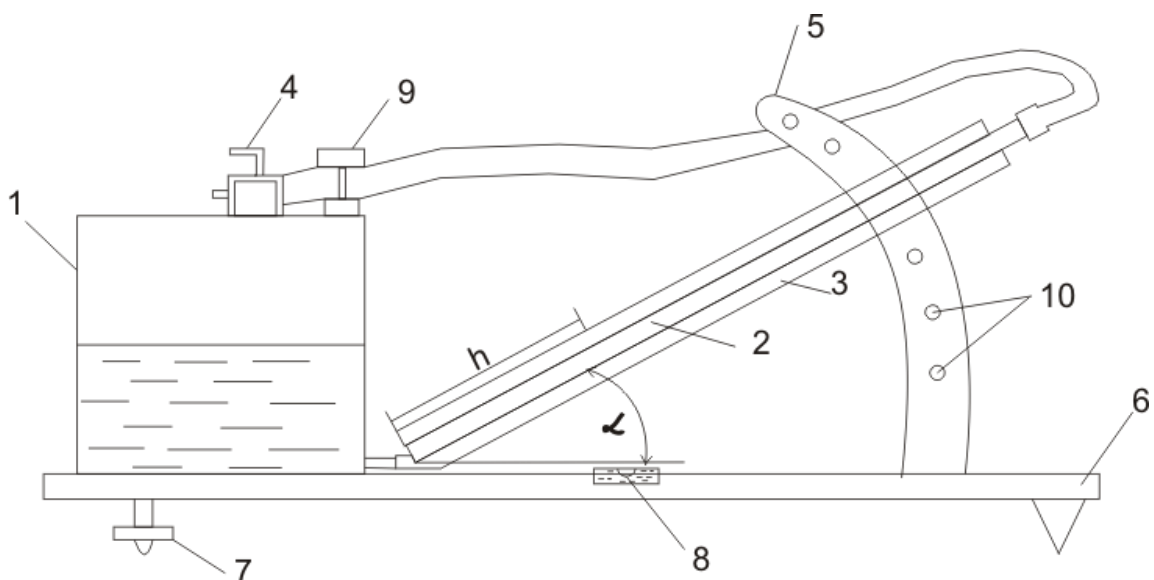


Рис. 7.4 Схема микроманометра

- 1- резервуар; 2- измерительная трубка; 3- шкала; 4- кран-переключатель; 5- дугообразная стойка; 6- подставка; 7- установочные винты; 8- винт установки нуля в трубке; 9- регулировочный винт, 10- отверстия.

Перед началом измерений микроманометр с помощью установочных винтов (7) по уровню (8) устанавливается в горизонтальное положение. Кран-переключатель (4) устанавливается в положение «0», при котором пространства над жидкостью в измерительной трубке и резервуаре сообщается с ат-

мосферой, и с помощью винта (9) жидкость устанавливается в положение, соответствующее нулю шкалы(3). Затем к штуцерам крана-переключателя присоединяются соединительные шланги от трубок МИОТ в соответствии с рис. 7.5.



Рис. 7.5 Схема присоединения шлангов к крану-переключателю

Если воздуховод нагнетательный, то для измерения полного и статического давления шланги от соответствующих трубок поочередно присоединяются к штуцеру со знаком +. Если воздуховод работает под разрежением, то шланги присоединяются к штуцеру со знаком - . Если шланг, идущий от трубы, служащей для измерения полного давления присоединить к штуцеру +, а шланг, идущий от трубы измеряющей статическое давление присоединить к штуцеру - , то микроманометр покажет разницу давлений, т.е. динамическое давление.

После поворота крана- переключателя по часовой стрелке до упора производят измерения. Величина измеренного давления ( $\text{кг}/\text{м}^2$ ) находится из выражения

$$p = k \times H. \quad (7.12)$$

где  $H$ - отсчет по шкале прибора,мм.

### 3. ОБЪЕКТ ИССЛЕДОВАНИЯ

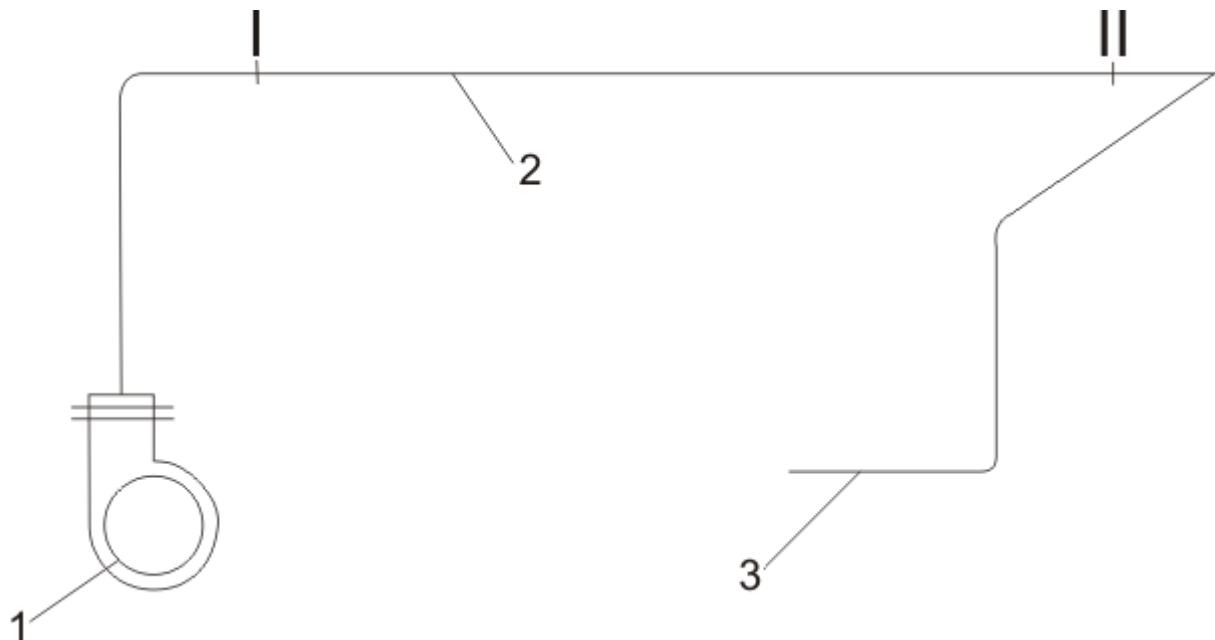


Рис. 7.6 Схема лабораторной установки

1-центробежный вентилятор; 2- картонно- бумажный воздуховод; 3 – дроссель-клапан для изменения расхода воздуха; I и II- сечения для производства замеров.

В установке в каждом сечении используются две пневмометрические трубы, закрепленные под углом  $90^\circ$  на стержнях с помощью струбцин со стопорными винтами.

### 4. ЗАДАНИЕ НА РАБОТУ

Определить расходы в воздуховодах круглого сечения с помощью пневмометрических трубок и микроманометра.

### 5. ПОРЯДОК ВЫПОЛНЕНИЯ РАБОТЫ

1. Изучить устройство пневмометрических трубок и микроманометра, правила их соединения при измерении.
2. Ознакомиться с лабораторной установкой, проверить положение трубок в сечении, научиться перемещать их в координатике.
3. Установить микроманометр в горизонтальном положении, привести уровень жидкости в измерительной трубке к нулевой отметке.

4. Соединить резиновыми шлангами пневмометрические трубы с микроманометрами.
5. Включить вентилятор (преподаватель или лаборант).
6. Зафиксировать шибер(3) в положении, соответствующем минимальному расходу воздуха.
7. Произвести замеры полного, статического и динамического давлений в сечении I и II. Измерения начать при положении трубы микроманометра с  $k=0,8$ , опуская ее до возможно более низкого уровня в целях повышения точности измерения. При этом недопустимо попадание жидкости в шланги. Результаты замеров занести в табл. 9.1.
8. Изменяя степень закрытия дроссель-клапана, произвести замеры 3-4 раза.
9. Выключить вентилятор(преподаватель или лаборант).
10. Отсоединить микроманометры от пневмометрических трубок.

Обработку результатов эксперимента удобно производить в форме табл. 7.1.

Таблица 7.1

Таблица экспериментальных данных и расчетных значений

№№ точек замеров. Опыт	Показания микрома- нометра, мм			$p_g$ , кгс/м <sup>2</sup>	$p_g$ , Па	$\rho$ , кг/м <sup>3</sup>	$v_M$ , м/с	$v_A$ , м/с	$F$ , м <sup>2</sup>	$L$ , м <sup>3</sup> /с
	$H_n$	$H_{ct}$	$H_g$							
1	2	3	4	5	6	7	8	9	10	11
1.										
2.										
...										
6.										
1.										
2.										
...										
6.										

Примечание:

1. Для контроля рекомендуется измеренное показание микроманометра ( $H_g$ ) сравнить с расчетным значением ( $H_n - H_{ct}$ ). Разница должна быть не значительной. Расчет ведут по среднему значению.

2. Внутренний диаметр воздуховода равен 0,16 м.

## **6. УКАЗАНИЯ ПО ОФОРМЛЕНИЮ ОТЧЕТА**

Отчет оформляется на листах формата А4 в соответствии с правилами ЕСКД. Отчет должен содержать: цель работы, схему лабораторной установки, методику определения скоростей и расхода воздуха в воздуховоде, таблицу экспериментальных и расчетных данных, графики измерения скоростей воздуха в поперечном сечении воздуховода, а также полного, статического, динамического давлений и расхода воздуха в зависимости от степени открытия шибера, выполненные на миллиметровой бумаге.

## **7. КОНТРОЛЬНЫЕ ВОПРОСЫ**

1. Цель и задачи лабораторной работы?
2. Цели и задачи испытания вентиляционных систем?
3. Что положено в основу методики определения расхода воздуха в воздуховоде?
4. Какие методы используются при определении скоростей движения воздуха?
5. Какие существуют анемометры и каковы их области применения?
6. Какие конструкции пневтометрических трубок наиболее широко распространены?
7. Назначение, конструкция и порядок работы с микроманометром?
8. Какой порядок выполнения работы?

## **8. ЛИТЕРАТУРА.**

1. Каменев П.Н., Тертичник Е.И., Вентиляция./ П.Н.Каменев, Е.И. Тертичник.- М. : Издательство АСВ,2008.- 624 с.:ил. - Библиогр. в конце кн.-ISBN 978-5-93093-436-6 : 450.00.
2. Полушкин В.И. Отопление, вентиляция и кондиционирование воздуха. Часть I. Теоретические основы создания микроклимата в помещении. (учеб. пособие/Полушкин В.И., Русак О.Н., Бурцев С.И., Анисимов С.М., Васильев В.Ф. – СПб.: «Профессия», 2002. - 159 с.: ил.- Библиогр. в начале кн.- ISBN 5-93913-031-3 /в пер./: 148.48.